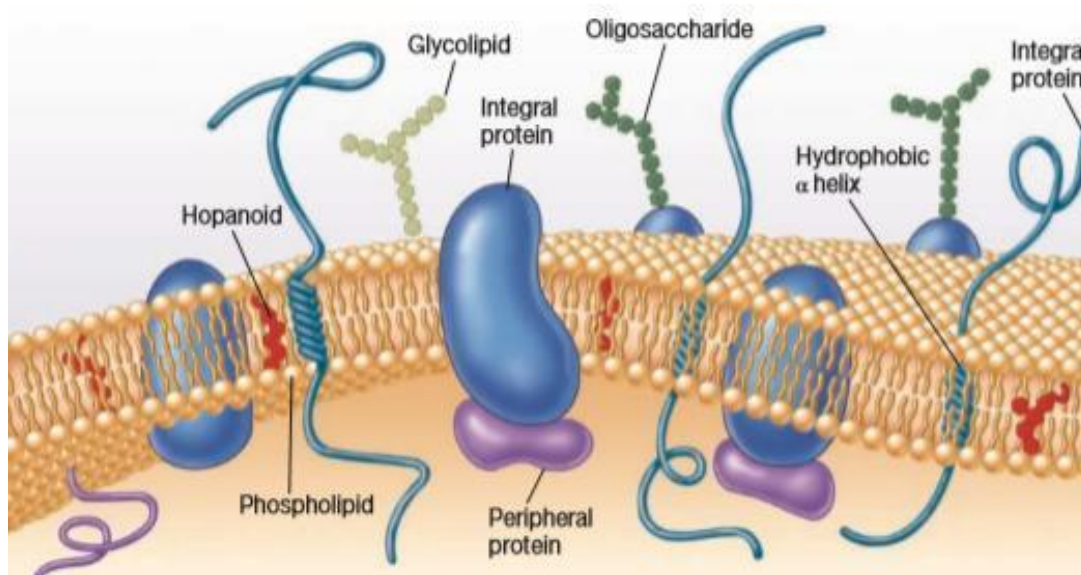


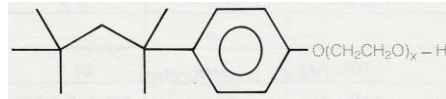
Struktura lipidnih mikrodomen

Singer-Nicholsonov model organizacije BM kot tekočega (fluidnega) mozaika (1972)

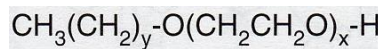


Le del BM je **topen pri nizki T ($\leq 4^{\circ}\text{C}$) v detergentu:**

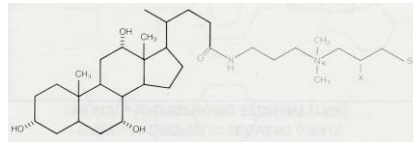
Triton X-100 (NP-40)



Brij-58

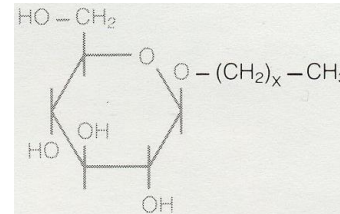


CHAPS



Preostanek membran je **topen v detergentu:**

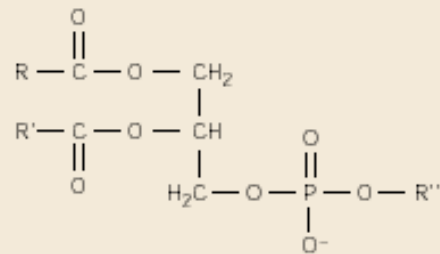
oktil glukozid



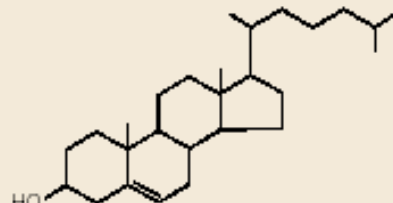
zgoraj naštetih detergentih pri višji T

Modelne membrane: nekateri lipidi preferenčno medsebojno interagirajo in izzovejo fazno ločitev

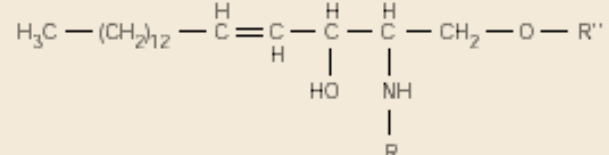
fosfolipidi



cholesterol



sfingolipidi

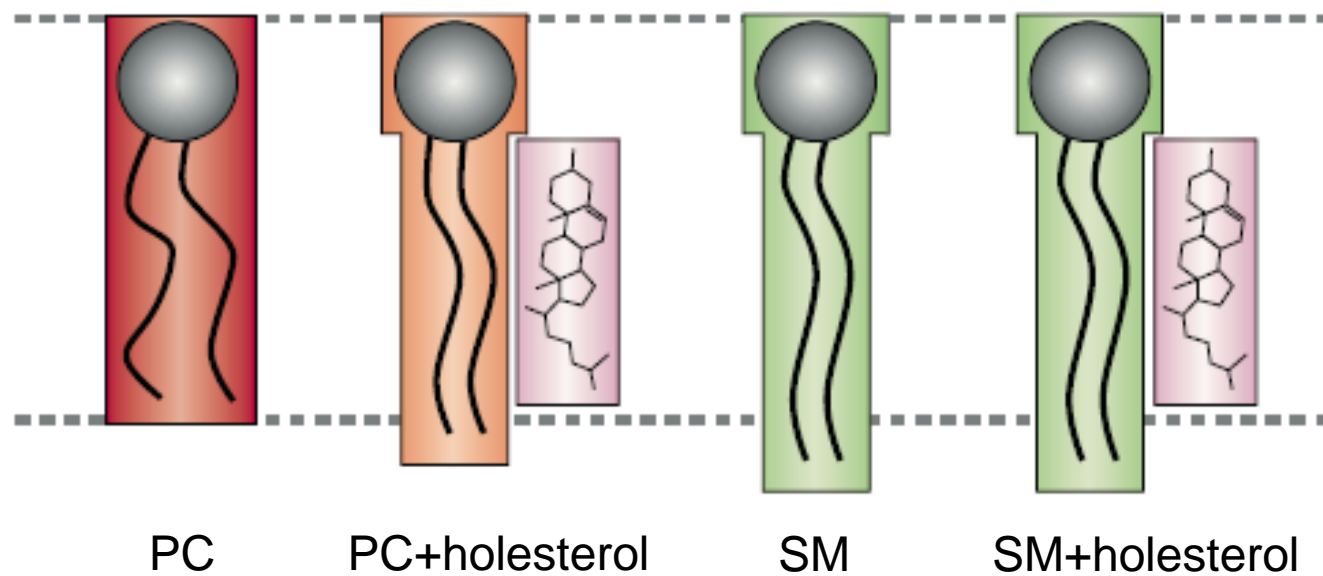


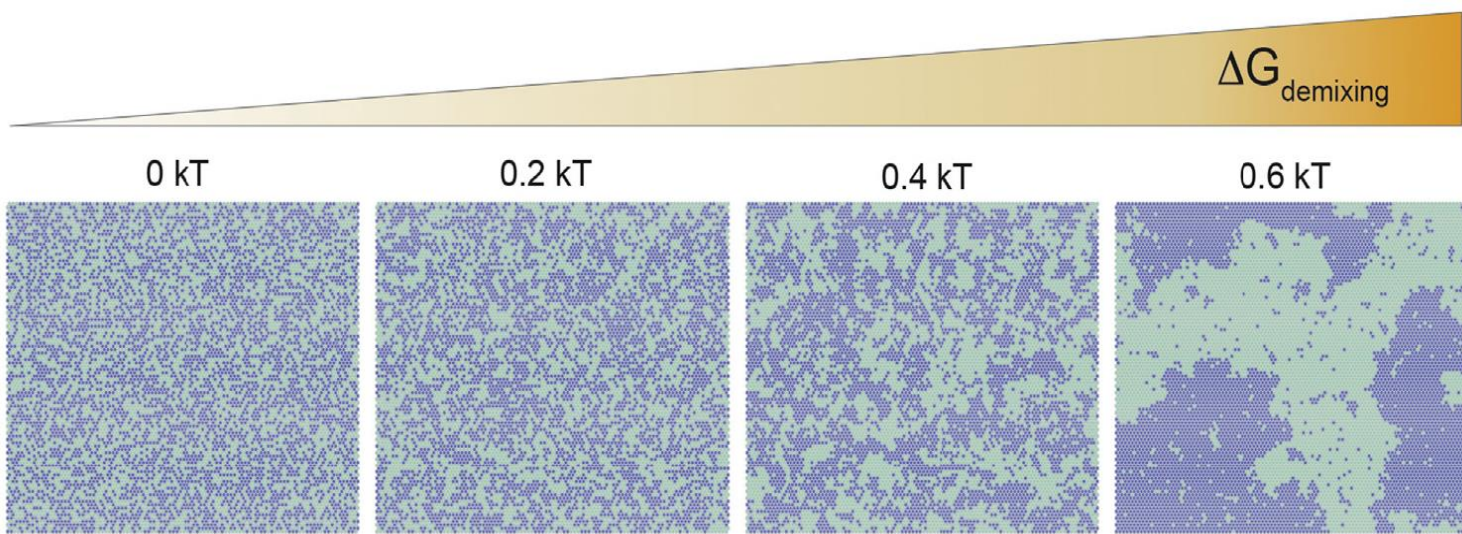
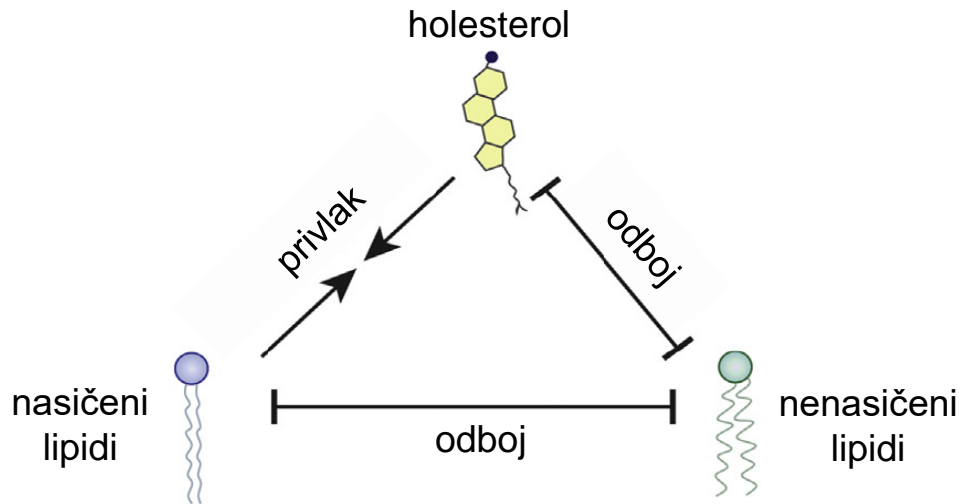
R, R' = CH verige MK
R'' = 'glava' PL/SL

Lipidi tvorijo:

- strukturo gela (pol-trdna)
- tekočo-urejeno strukturo
- tekočo-neurejeno strukturo (tekoči mozaik)

Holesterol lahko izzove ločitev (segregacijo) tekočih faz





Spreminjanje vsebnosti sestavin lipidnih raftov

Sekvestracija holesterola

- Antibiotiki:
filipin, nistatin, amfotericin
- Porotvorne snovi:
saponin, digitonin, streptolizin O

Ekstrakcija holesterola

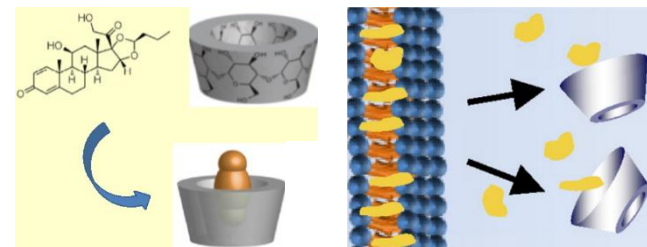
- metil- β -ciklodekstrin

Inhibicija sinteze holesterola

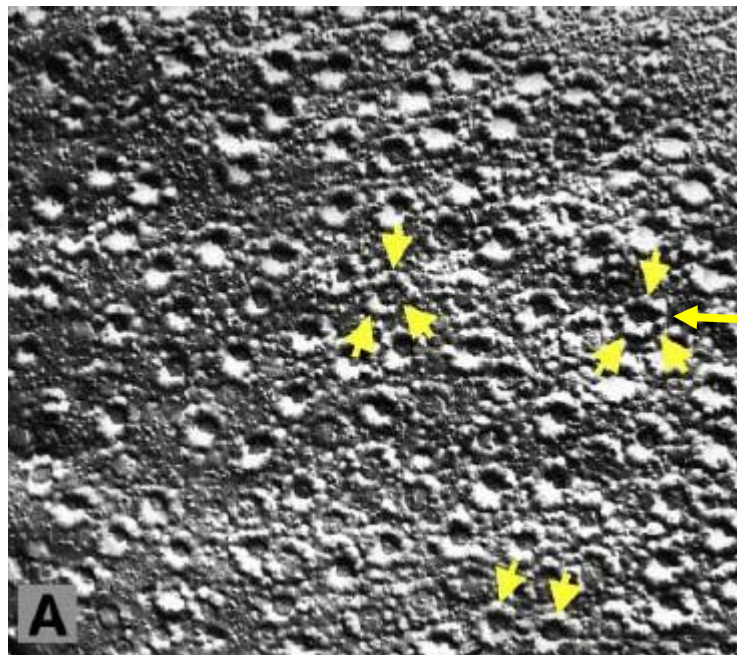
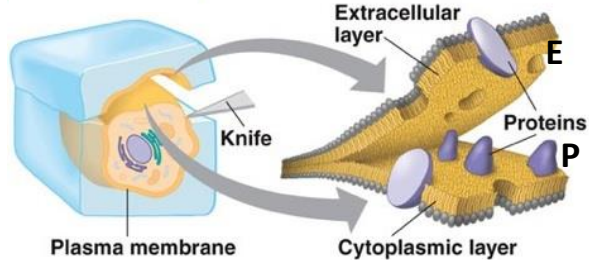
- lovastatin

Perturbacija stabilnosti rafta

- Eksogeni holesterol
- Eksogeni gangliozidi
- Eksogene polinenasičene maščobne kisline



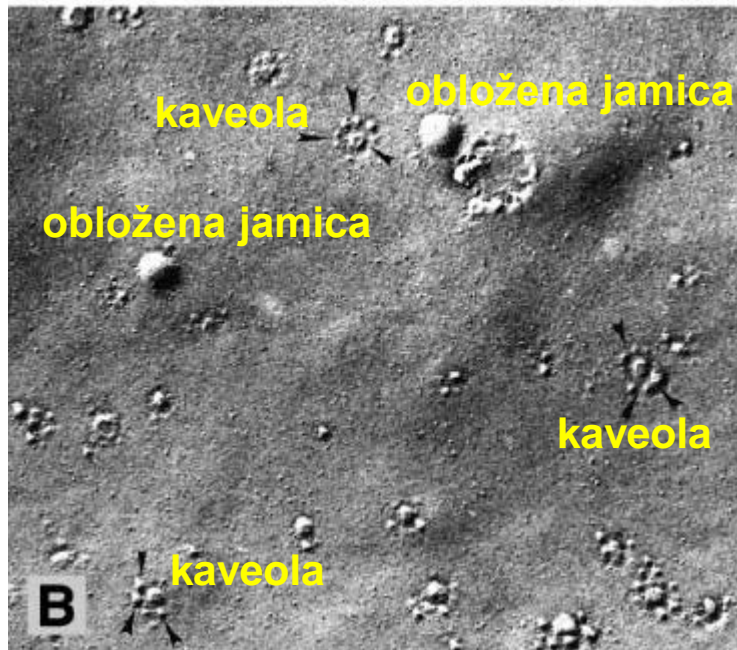
Zamrzovanje-lomljenje



PM endotelijske celice
Proto- ali P-stran

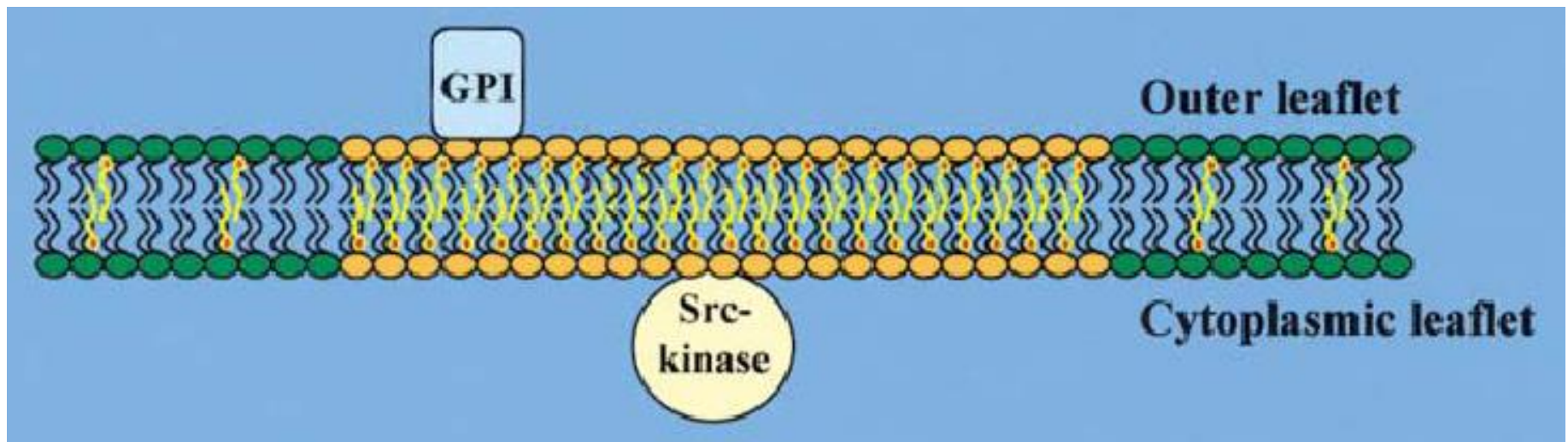
Oborina kompleksa
filipin-holesterol

Holesterol v BM
ni enakomerno
razporejen!

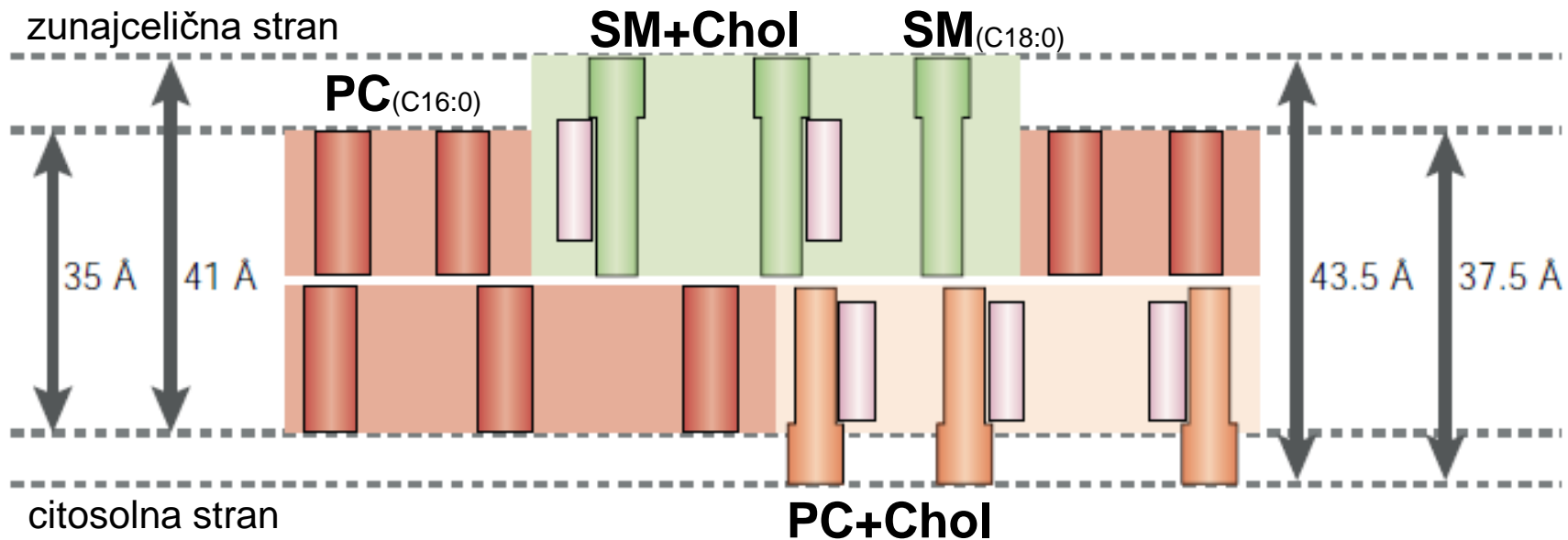


PM celice gladke mišice
Ecto- ali E-stran

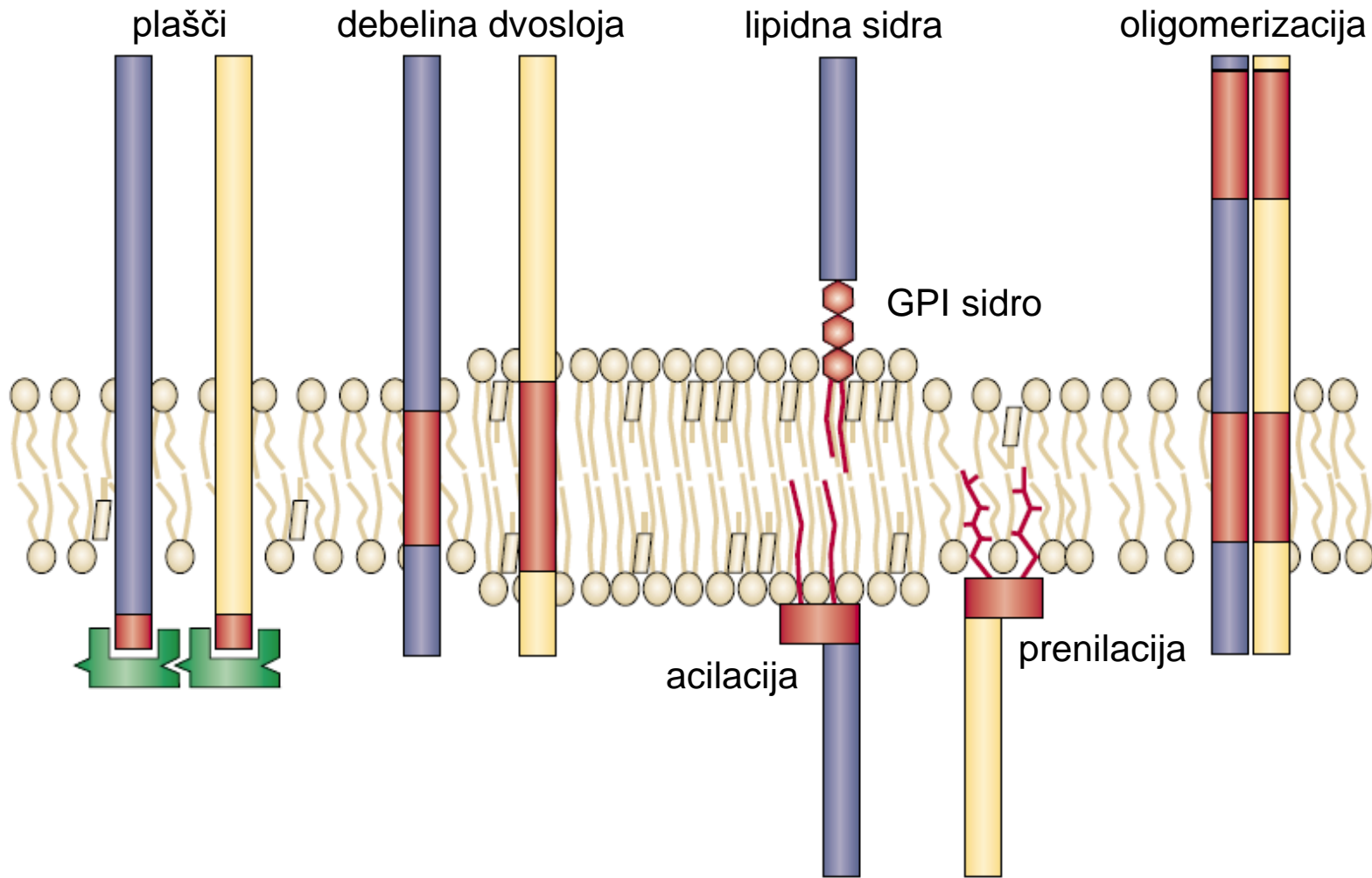
BM so notranje urejene: koncept lipidnega rafta



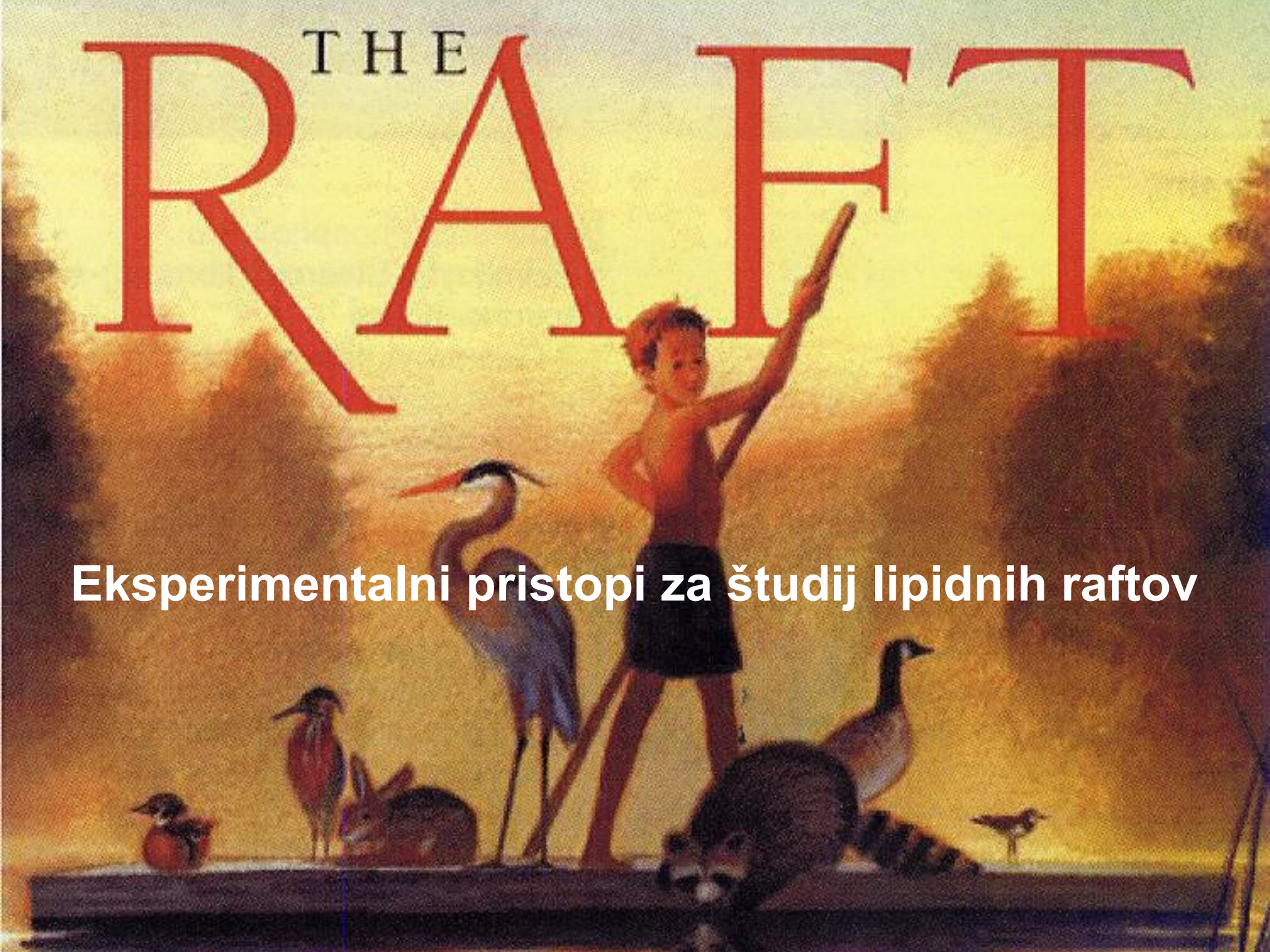
Debelina lipidne membrane je odvisna od njene sestave



Lateralno razvrščanje membranskih proteinov



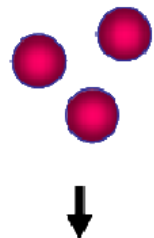
THE RAFT

The background of the slide is a reproduction of the painting 'The Raft of the Medusa' by Théodore Géricault. It depicts a small, makeshift raft adrift at sea, with a group of survivors, including a young boy, struggling to stay afloat. Various birds, including a heron and a large duck-like bird, are scattered around the raft, some on the water and others in flight against a dramatic, cloudy sky.

Eksperimentalni pristopi za študij lipidnih raftov

Flotacija v detergentu-netopnih membran

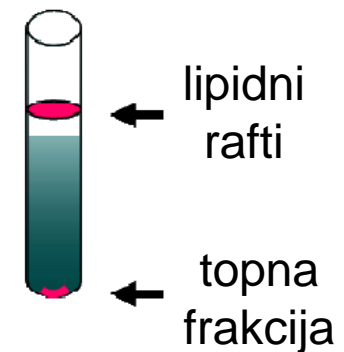
celice



Liza celic v HLAD-
NEM ne-ionskem
detergentu



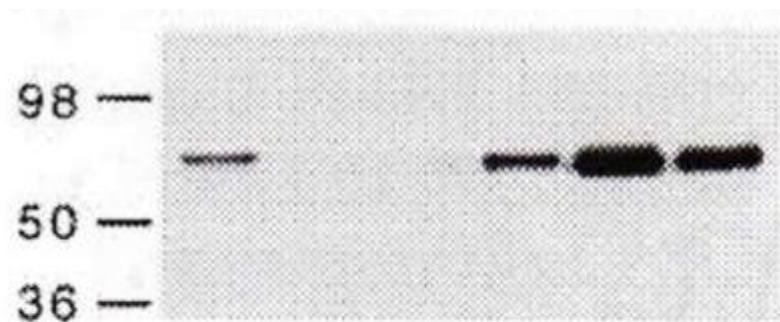
gostotni gradient
saharoze



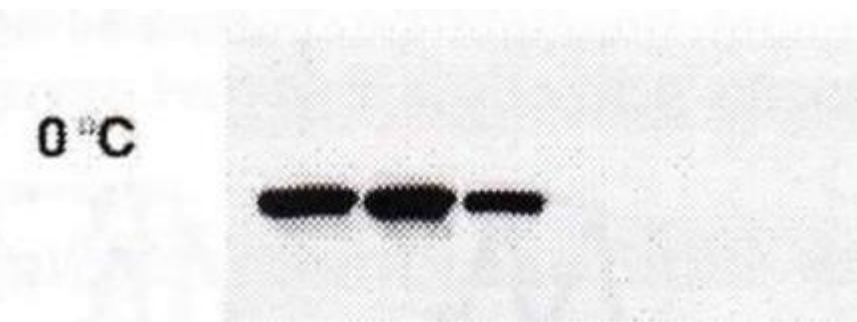
ultracentrifugiranje

Raztpljanje BM v 2% (v/v) TR X-100 pri 4°C ali 30°C in analiza vzorca s centrifugiranjem v gradientu saharoze (flotacijska analiza).

PLAP (Placental Alkaline Phosphatase)

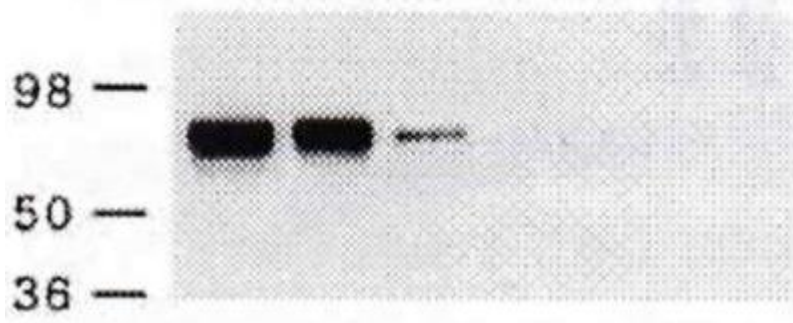


VSV-G (Vesicular Stomatitis Virus Glycoprotein)



0 °C

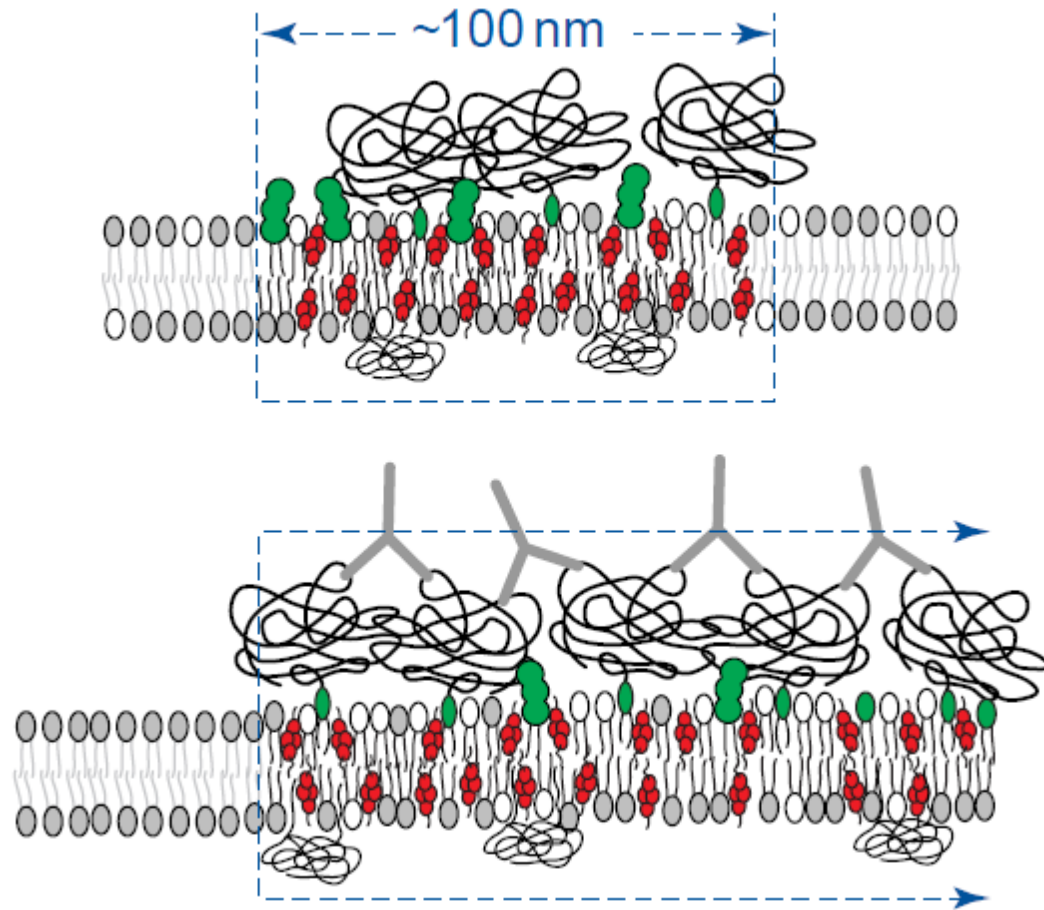
30 °C



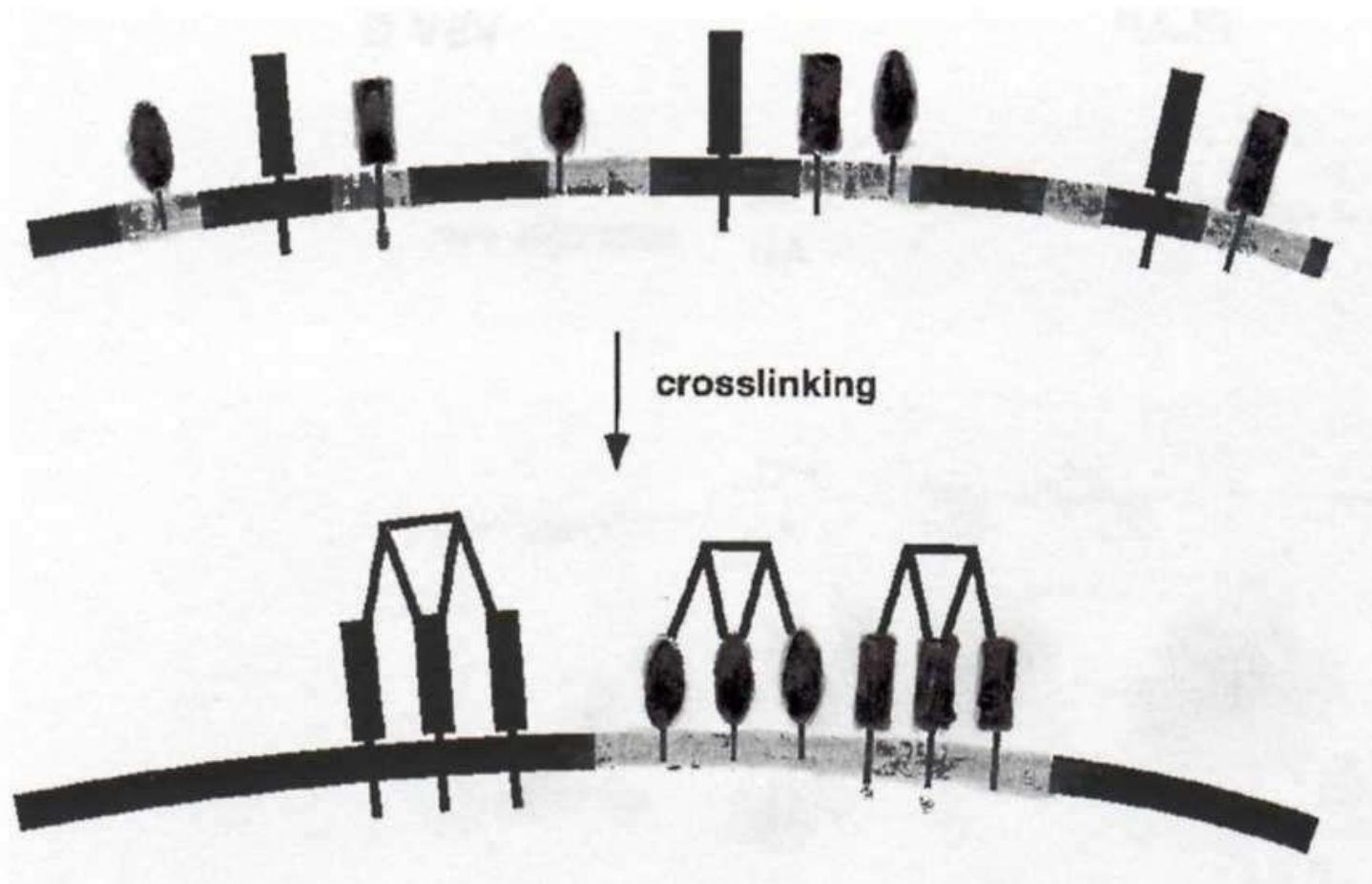
višja → nižja gotota

višja → nižja gotota

Skepljanje membranskih komponent (patching)

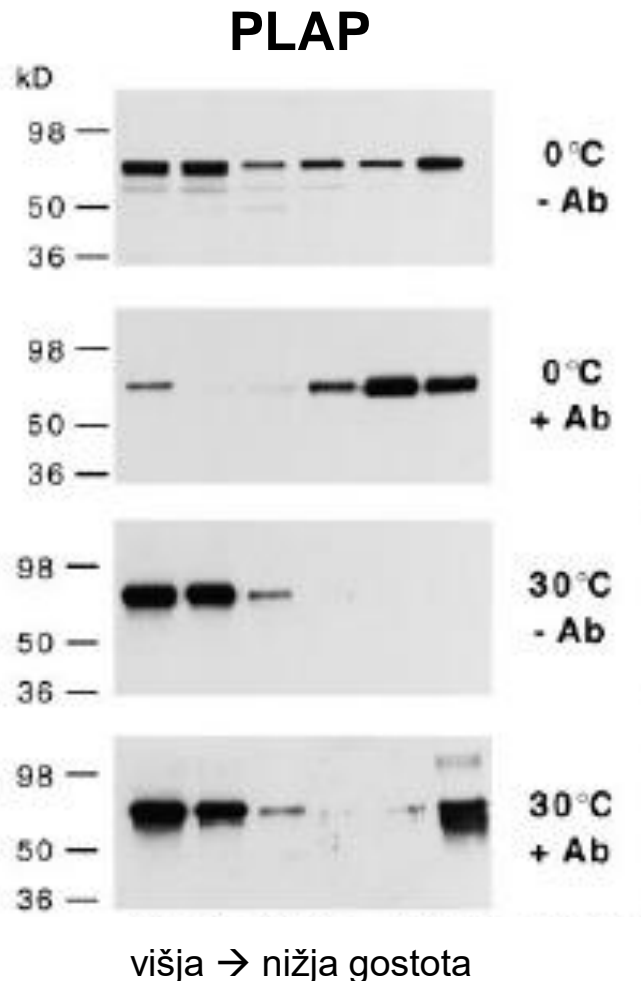


Ločevanje membranskih faz s skepljanjem membranskih komponent (patching)

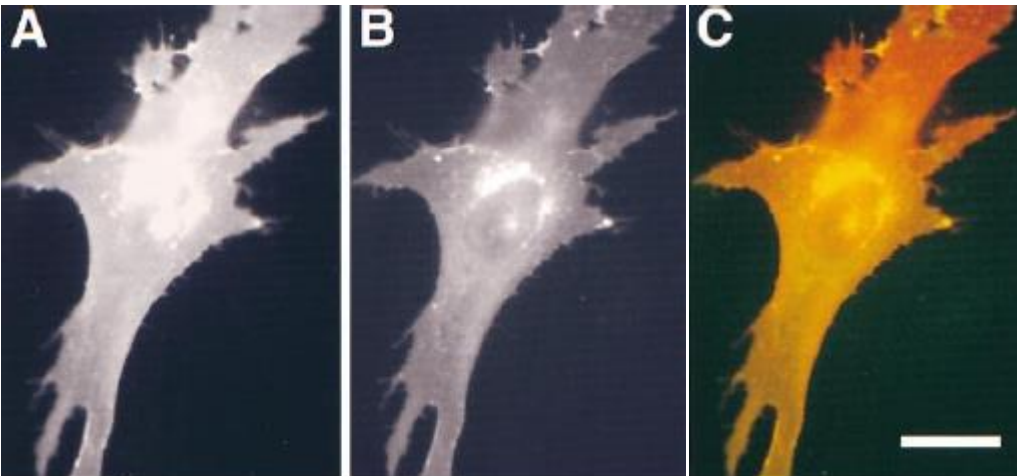


Stabilizacija membranskih domen s prečnim povezovanjem MP s protitelesi

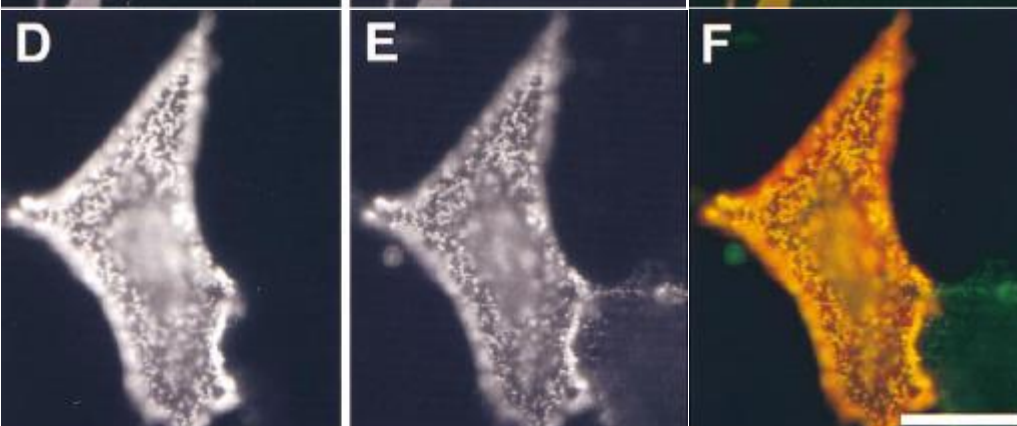
GPI-protein PLAP izražen v nepolariziranih fibroblastoidnih BHK-21 celicah



Skepljanje PLAP (rdeče) in HA (zeleno), proteina iz virusa gripe, so-izraženih v nepolariziranih BHK-21 celicah



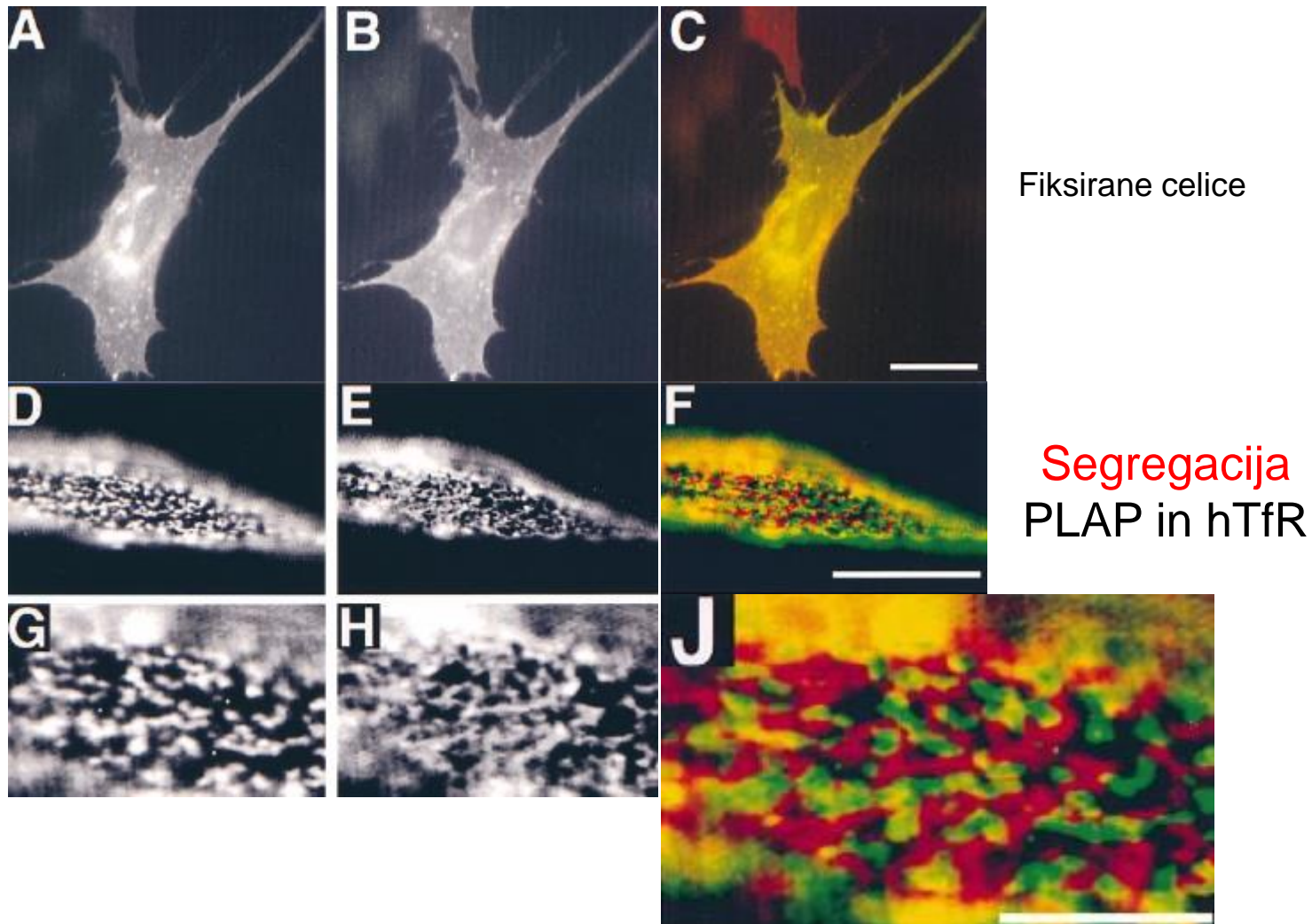
Fiksirane celice



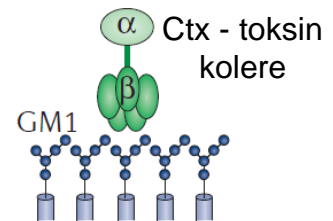
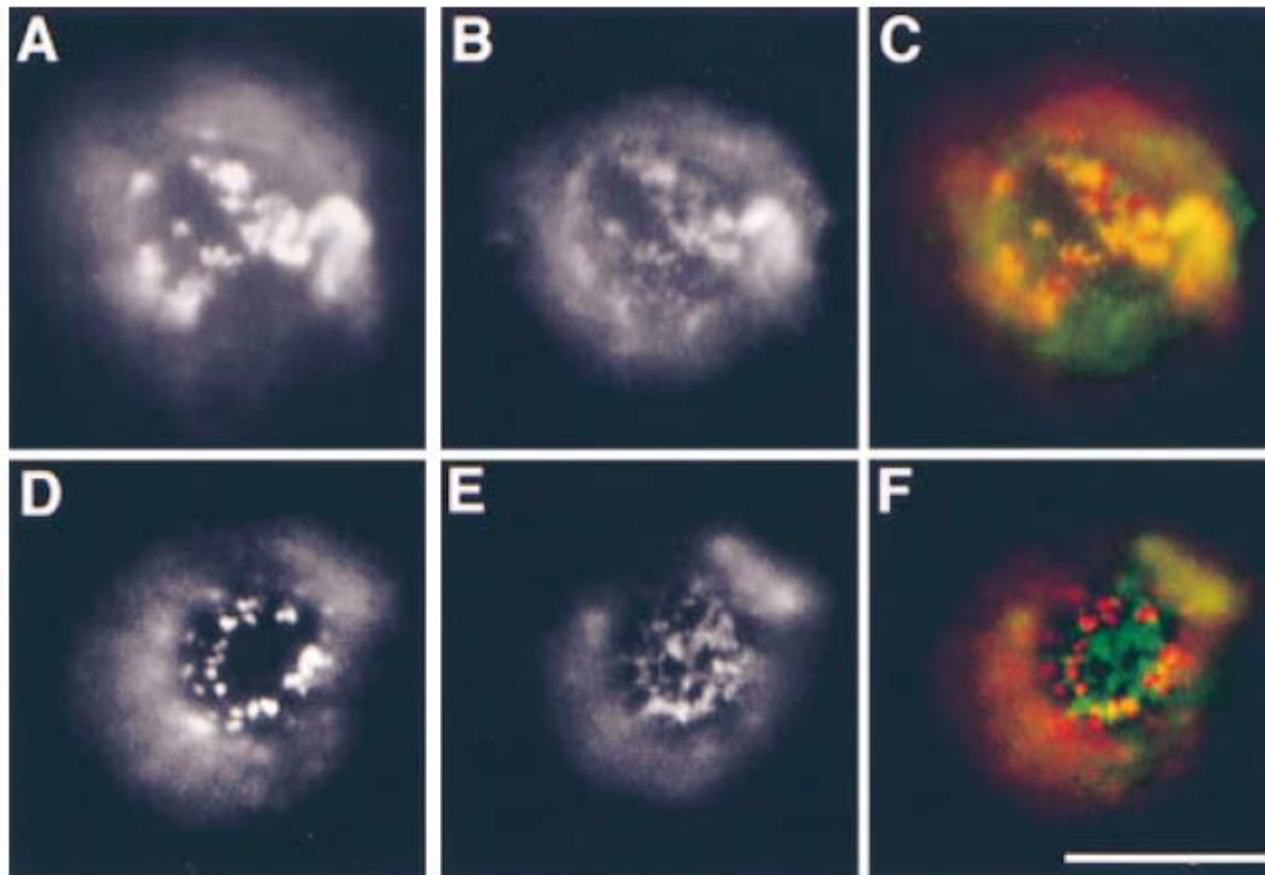
Kolokalizacija
PLAP in HA



Skepljanje PLAP (zeleno) in hTfR (rdeče), človeškega receptorja za transferin, so-izraženih v nepolariziranih BHK-21 celicah



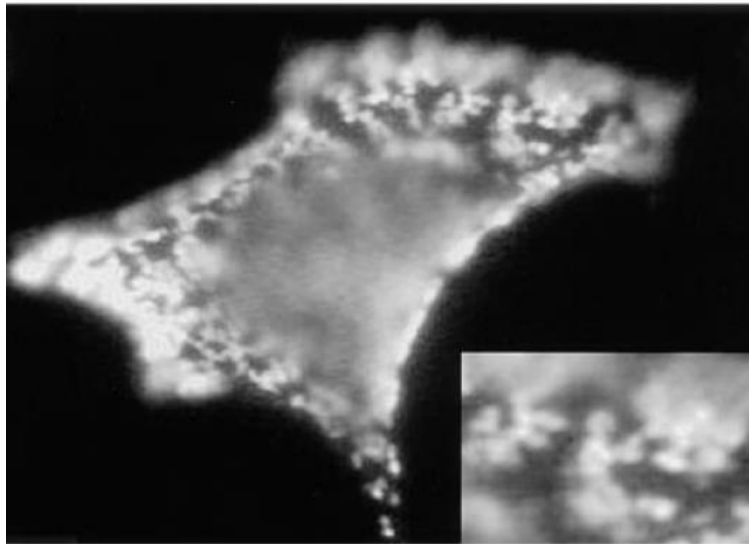
Skepljanje PLAP ali hTfR (rdeče), prehodno izraženih v nepolariziranih Jurkat celicah, in gangliozida GM1 (zeleno)



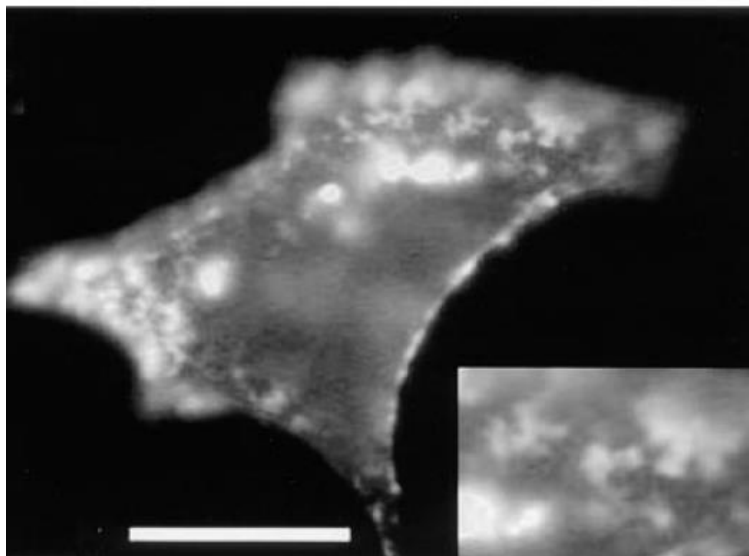
Kolokalizacija
PLAP in GM1

Segregacija
hTfR in GM1

Skepljanje PLAP v BHK-21 celicah izzove enak vzorec akumulacije src-podobne Tyr kinaze Fyn na citosolni strani PM



Razporeditev PLAP po **skepljanju z Ab**

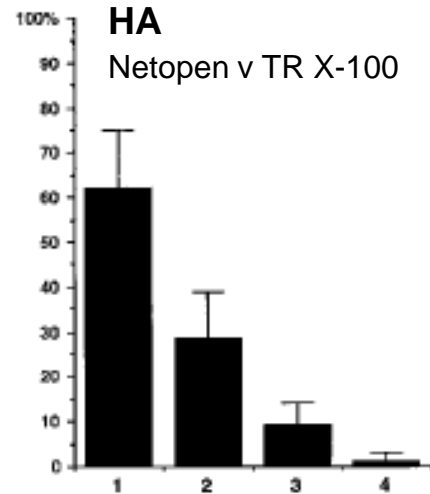


Razporeditev Fyn po **skepljanju PLAP**

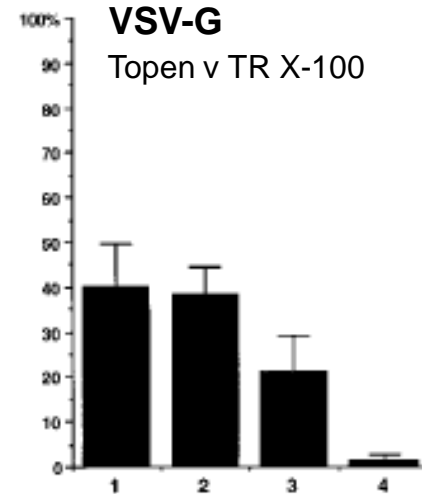
Nekateri proteini izražajo šibko, a občutno interakcijo z rafti, ki je ne moremo zaznati s kriterijem topnosti v TR X-100

Stopnja kolokalizacije s skepljenim PLAP

HA
Netopen v TR X-100

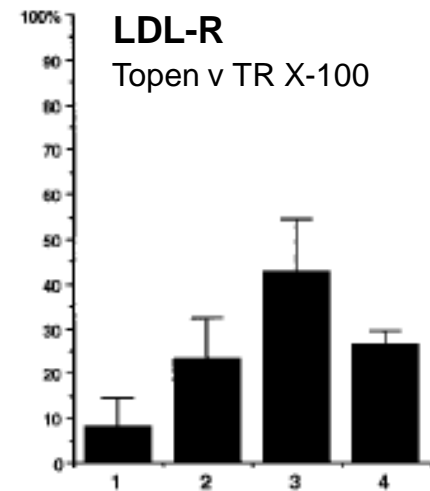


VSV-G
Topen v TR X-100

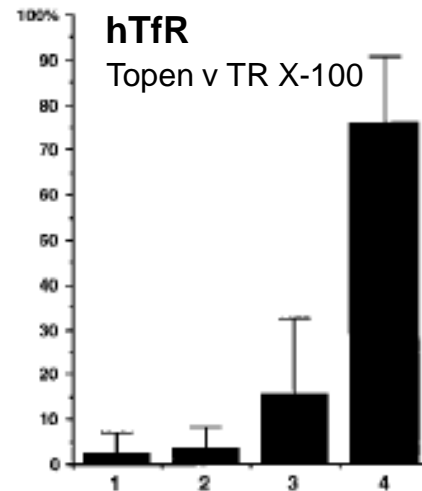


- (1) >80% prekrivanje
- (2) Delno prekrivanje
- (3) Delna segregacija
- (4) Popolna segregacija

LDL-R
Topen v TR X-100

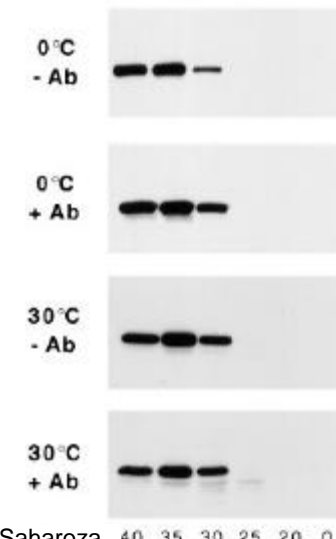


hTfR
Topen v TR X-100



Topnost v TR X-100

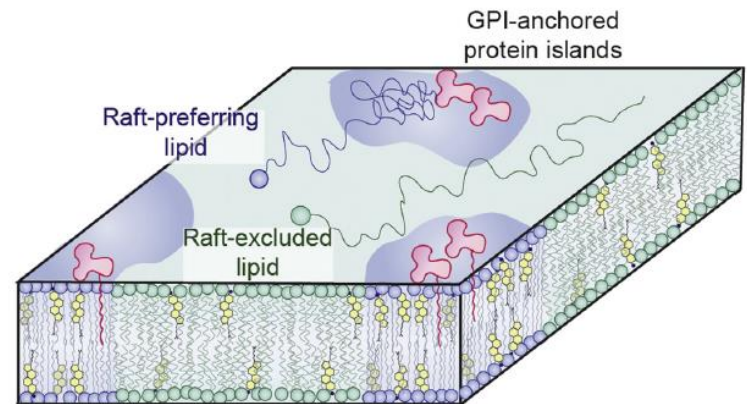
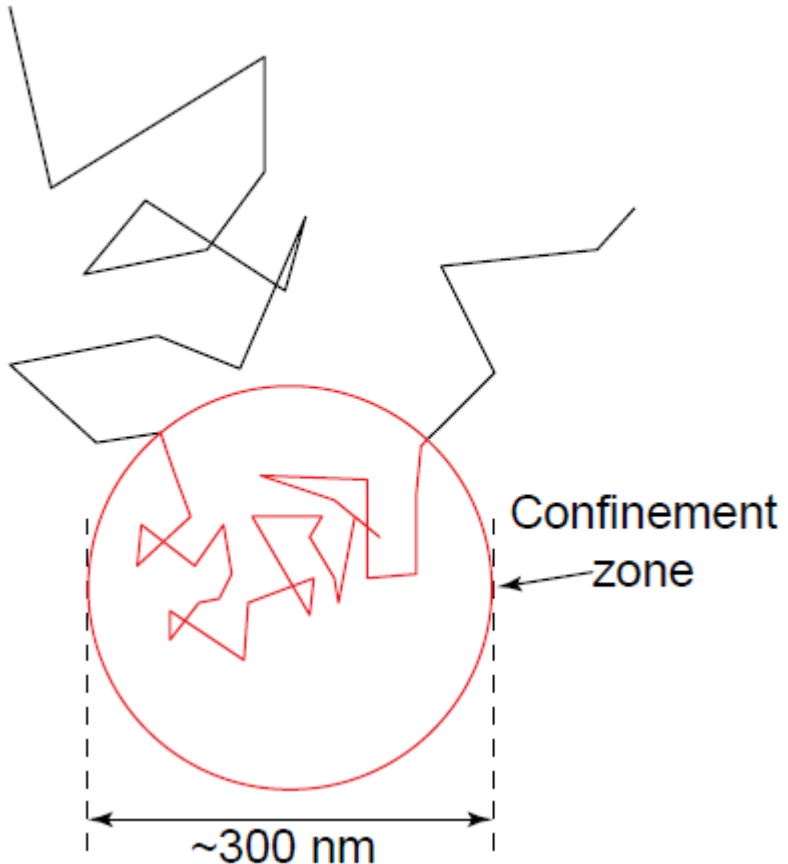
VSV-G



Saharoza 40 35 30 25 20 0

Sledenje posameznemu delčku (angl. 'Single Particle Tracking' – SPT)

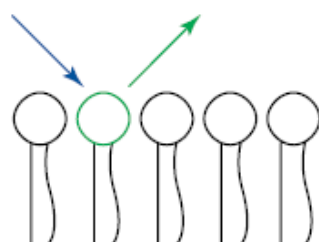
SPT



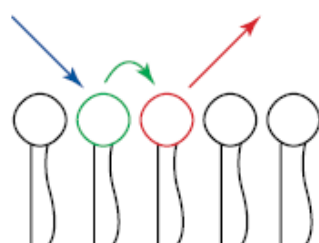
Prenos energije fluorescenčne resonance – FRET

Fluorescence
Resonance
Energy
Transfer

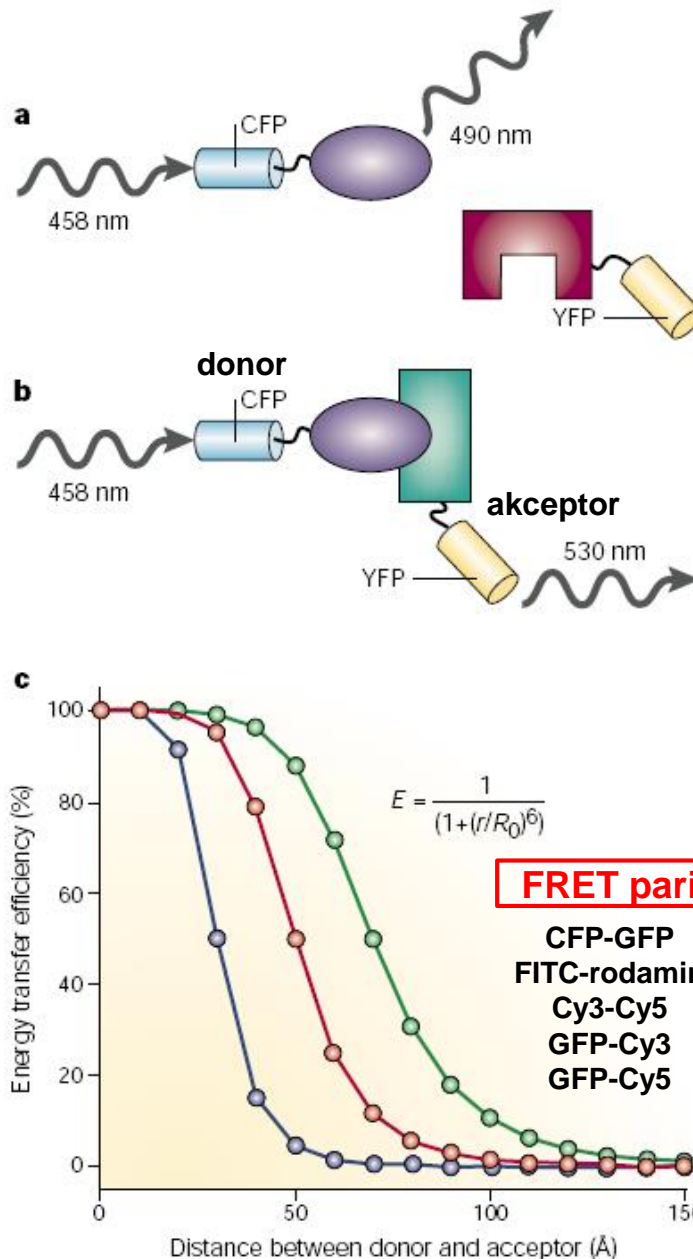
Conventional FRET
Excitation Emission



Normal donor emission in dilute solution

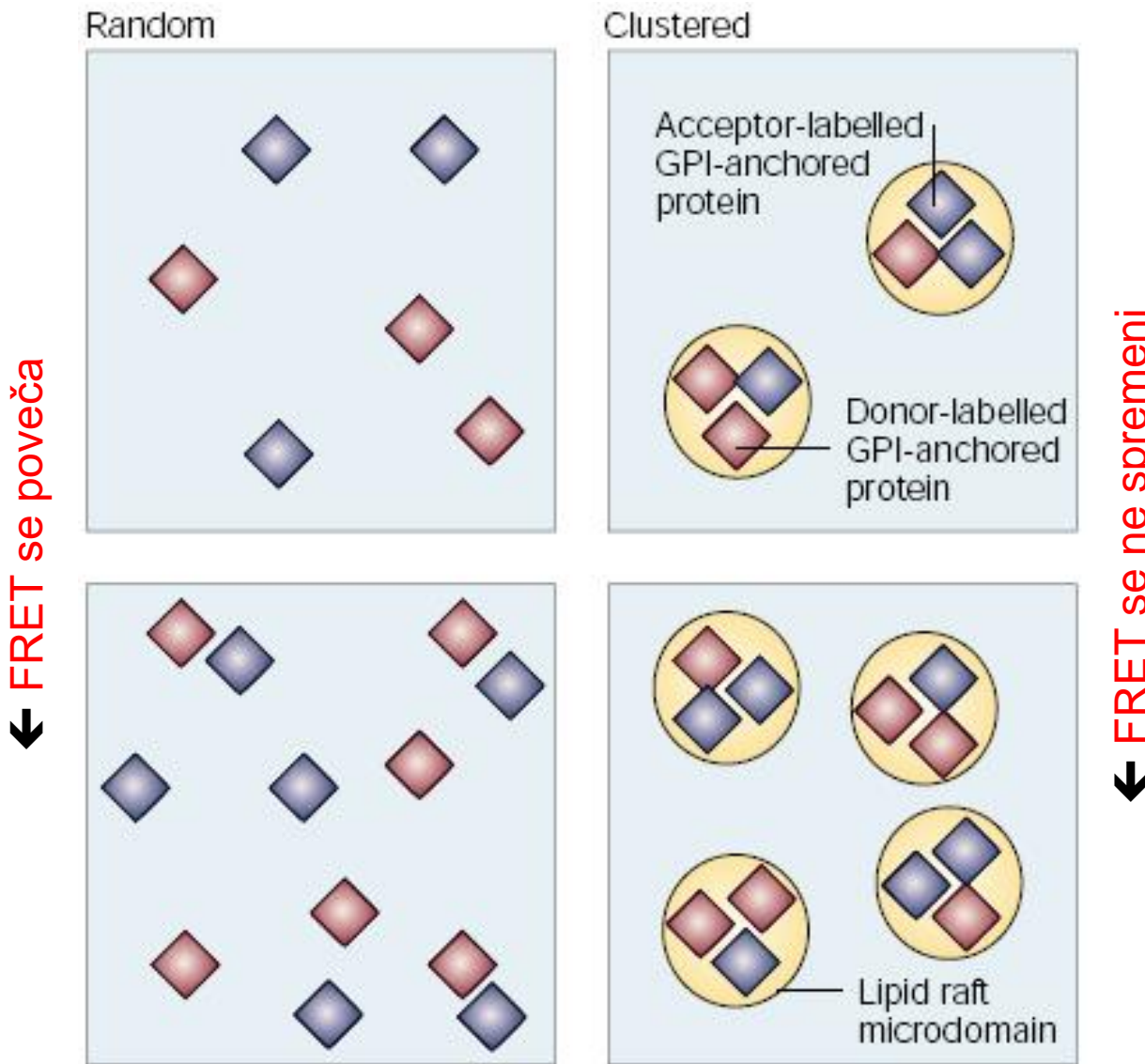


Red-shifted acceptor emission via donor–acceptor energy transfer in concentrated solution



FRET za detekcijo lipidnih raftov

FRET kot funkcija površinske gostote donorja in akceptorja



Metoda	Pridobljena informacija	Žive celice	Komentarji
Flotacija za raztopljanje v detergentu-odpornih membran (DRM)	Potencialna asociacija z rafti	Ne	<ul style="list-style-type: none"> Preprosta izvedba Najbolj običajna identifikacija potencialnih signalizacijskih proteinov Artefakti so možni Težko zazna šibko asociacijo z rafti
Skepljanje s protitelesi in imunofluorescenčna mikroskopija	Potencialna asociacija z rafti	Ne	<ul style="list-style-type: none"> Preprosta izvedba Običajen pristop Bolje od flotacije zazna šibko asociacijo z rafti Zahetvna kvantifikacija zaradi variabilnosti od celice do celice
Imunoelektronska mikroskopija	Lokacija raftnih komponent	Ne	<ul style="list-style-type: none"> Obetavni rezultati Tehnično zahtevna
Prečno povezovanje na kemijski način	Identifikacija kompleksov nativnih raftnih proteinov	Da	<ul style="list-style-type: none"> Neposredna Empirična izbira primernih pogojev in reagentov
Mikroskopsko sledenje posamičnega fluorofora	Difuzija in dinamika posamezne molekule v membrani	Da	<ul style="list-style-type: none"> Zaheta visoko specializirano opremo in usposobljenost
Mikroskopija na fotonsko silo	Difuzijska konstanta, velikost in dinamika posameznih raftov	Da	<ul style="list-style-type: none"> Zelo informativna tehnika Zaheta visoko specializirano opremo in tehnično izurjenost Časovno potraten zajem podatkov in analiza rezultatov
FRET	Bližina dveh raftnih komponent v prostoru (npr. <10 nm)	Da	<ul style="list-style-type: none"> Zelo zmogljiva tehnika Pomembna je izbira ustreznega para donor–akceptor

Komponente raftov / kaveol

Lipidi

Holesterol
Sfingomielin
Glikosfingolipidi (npr. GM₁)
PIP₂

Proteini

Integralni/strukturni

Kaveolini (Cav-1, Cav-2 in Cav-3)
Flotilini (FLO-1 in FLO-2, aka, Reggies ali Cavatellini)

LAT/PAG

MAL/BENE

Stomatini

VIP36

Acetilirani

Eksoplazemski

GPI-vezani proteini (npr. Thy-1, alkalna fosfataza, folatni receptor)

Citoplazemski

Tyr kinaze iz družine Src (NRTK)

G proteini

eNOS

H-Ras

'Scavenger' receptorji

CD36

SRBI

RAGE

Drugi receptorji

Receptorji Tyr kinaze (RTK) (npr. EGF-R, PDGF-R, insulinski R)

Heptahelikalni receptorji (npr. endotelinski R)

Razporeditev in gibanje raftov sta odvisna od vrste celice

Polarizirana epitelijska celica (tesni stiki)

- akumulacija v apikalnem delu PM

Motorični nevron (citoskelet, zunajcelični matriks)

- akumulacija v aksonskem delu PM

Osteoklast (citoskelet, zunajcelični matriks)

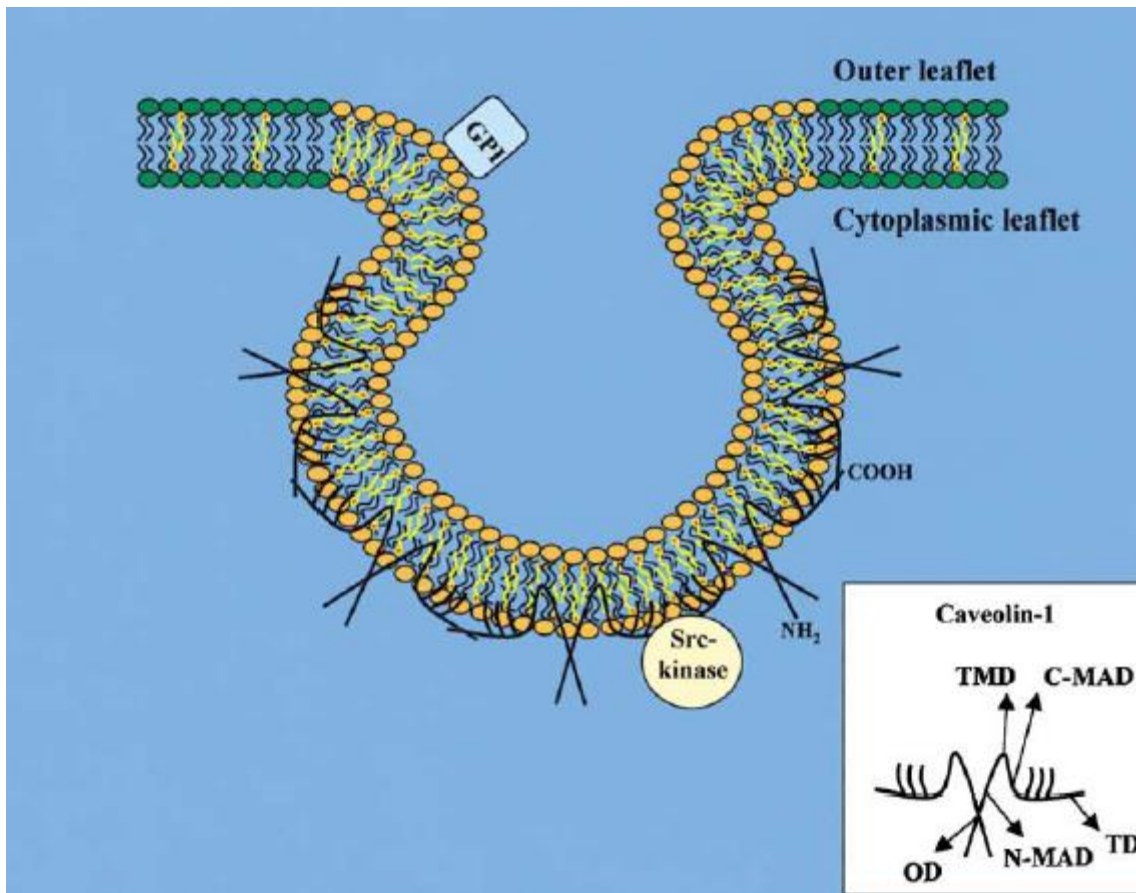
- asimetrična porazdelitev v PM

Limfocit in fibroblast

- enakomerna porazdelitev v PM

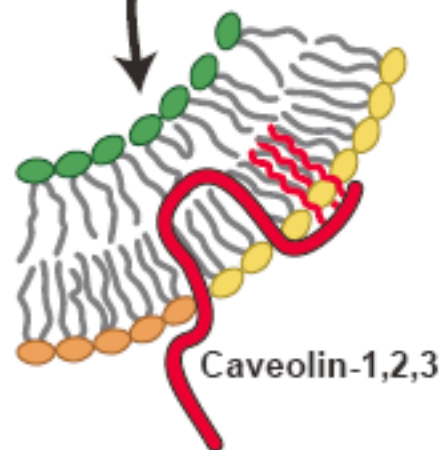
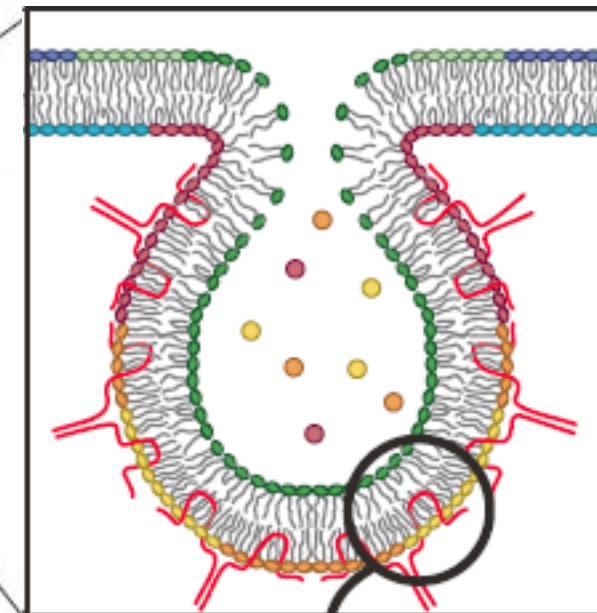
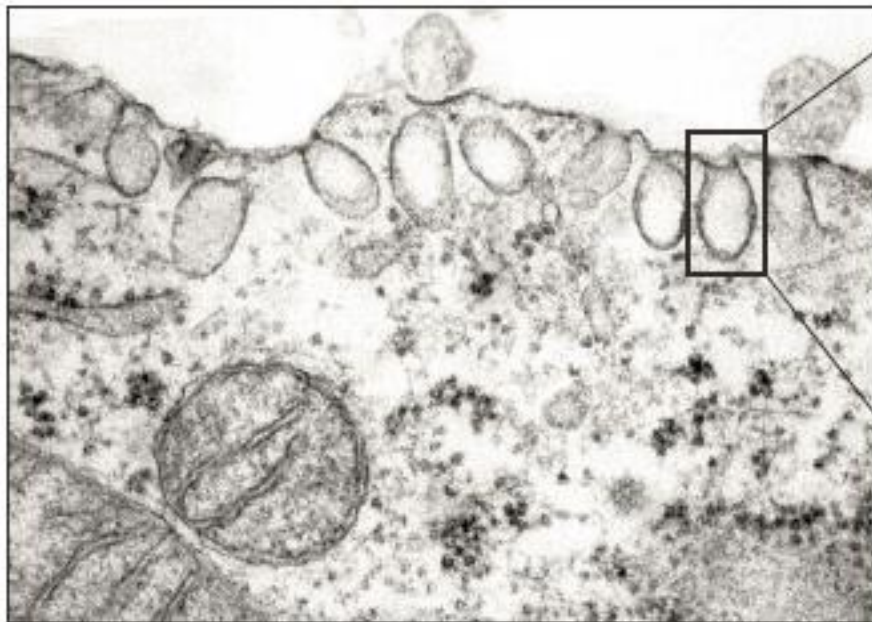
Kaveola (caveolae)

vrsta visoko-specializiranega lipidnega rafta



'Anatomija' kaveole

Hu fibroblast



Kaveolini (Cav)

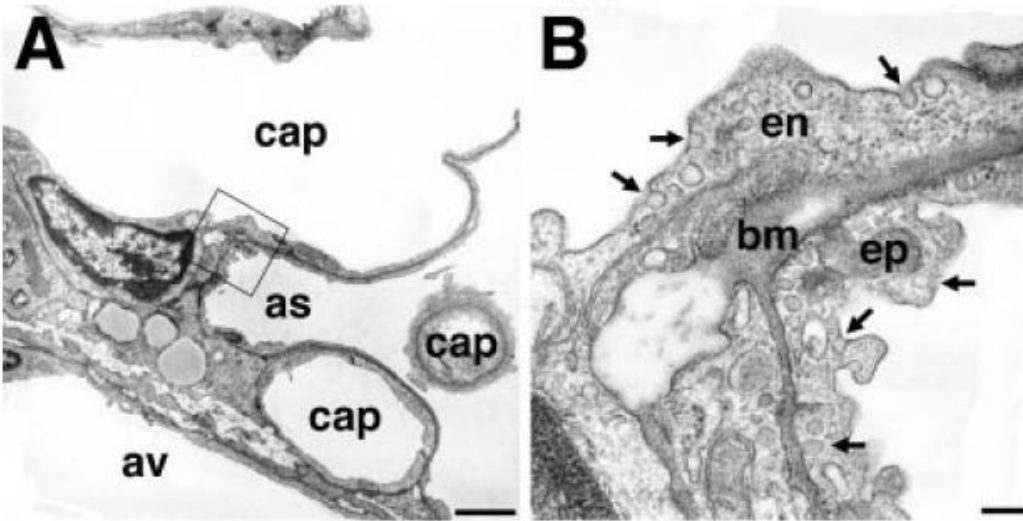
- Nujni za nastanek kaveole.
- Družina genov Cav je strukturno in funkcijsko ohranjena od črva (*C. elegans*) do človeka.
- Pri sesalcih: Cav-1 (α in β), Cav-2 in Cav-3 (21- bo 25-kDa).
- Integralni membranski proteini (tri-palmitoilirani).
- Cav-1 in Cav-2 se so-izražata, Cav-3 je mišično-specifičen.
- Polimerizirajo (14-16) in tako oblikujejo kaveolo.
- Vežejo holesterol, maščobne kisline in interagirajo s širokim naborom proteinov, ki sodelujejo pri prenosu signalov (npr. RTyr kinaza, eNOS, G-proteini).
- Limfociti in nevroni jih ne vsebujejo.

Funkcija lipidnih mikrodomen

V celicah cav-1^{-/-} mišk NI kaveol:

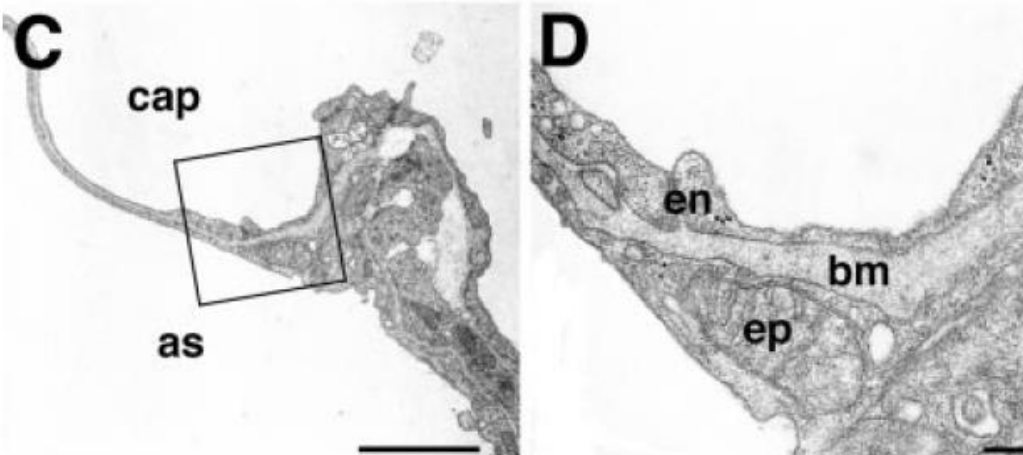
pljučno tkivo pod elektronским mikroskopom

divji tip (WT)

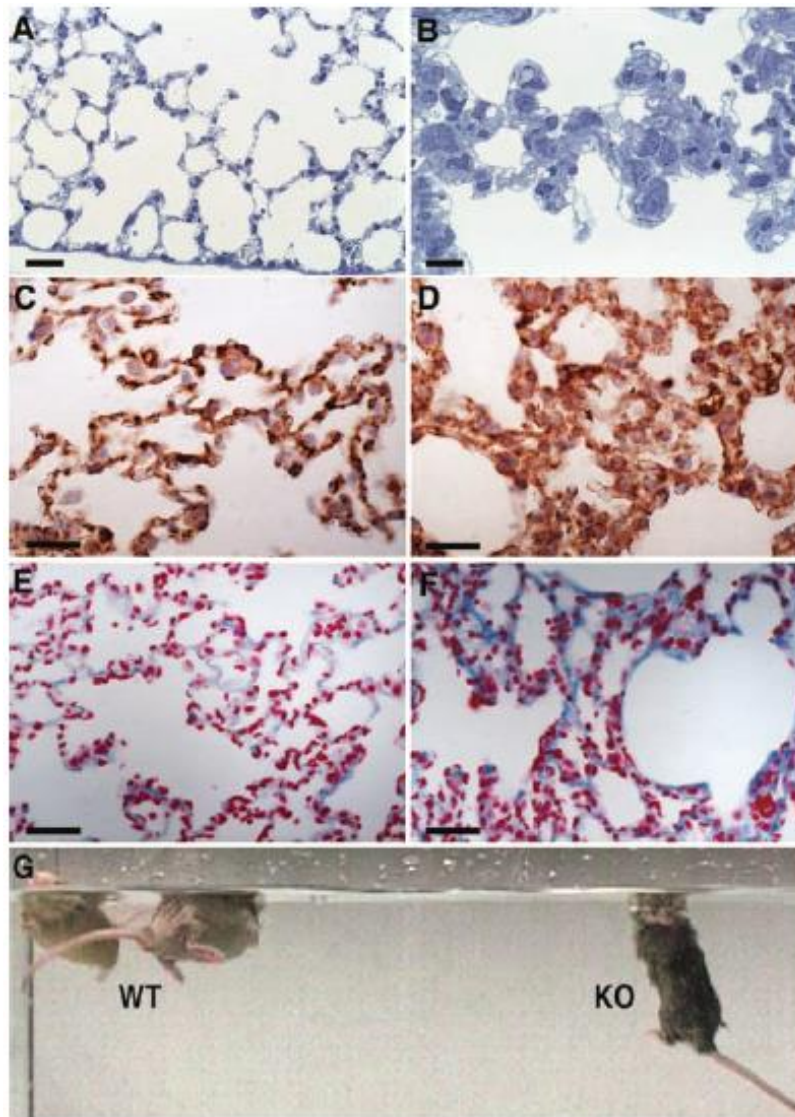


as – alveolarni prostor
cap – kapilara
av – arterija
en – endotelij
ep – epitelij
bm – bazalna membrana

cav-1^{-/-} (KO)



Patomorfološke spremembe pljuč pri cav-1^{-/-} miški rezultirajo v njeni fizični šibkosti



Odebelitev
alveolarnih sten

Povzroči jo:

- nenadzorovana rast endotelijskih celic
(Cav-1 je tumorski supresor)
- Povečana vsebnost izvenceličnega fibrilarnega matriksa (fibroza)

Rezultat je
fizična šibkost

Celični procesi, ki vključujejo lipidne rafte

- Prenos signalov
- Transport in razvrščanje proteinov in lipidov
- Od klatrina neodvisna endocitoza:
 - kaveolin-odvisna (potocitoza)
 - kaveolin-neodvisna endocitoza
- Homeostaza Ca^{2+}

Nekatere signalne molekule v lipidnih raftih

Transmembranski receptorji

EGF receptor

Bradikininski receptor B2

Eph receptorji

TCR

BCR

Fc ϵ RI

Integrini β 1

Lipidne signalizacijske molekule

Sfingomielin

Ceramid

Fosfoinozitidi

Diacilglicerol

GPI-proteini

CD59

uPAR

Efrin A5

Signalni efektorji

$G_{\alpha i 1}$, $G_{\alpha i 2}$, $G_{\alpha i 3}$

Src-kinaze

Ras

PKC α

Shc

Adenilat ciklaza

eNOS

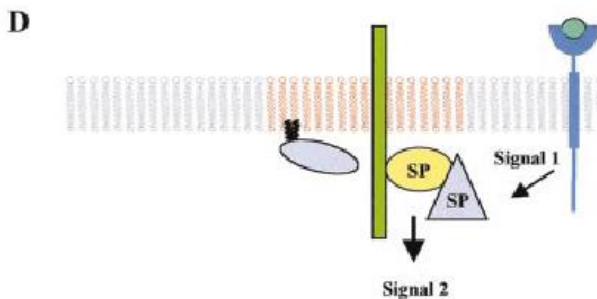
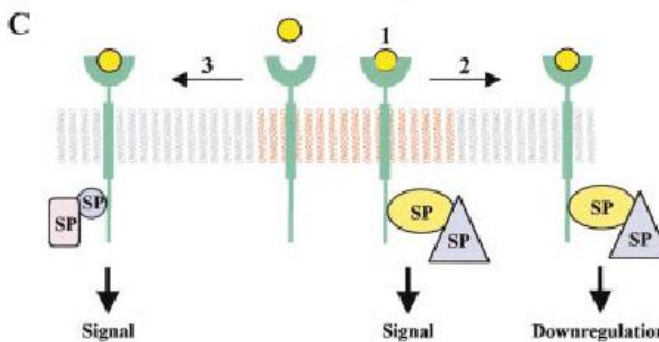
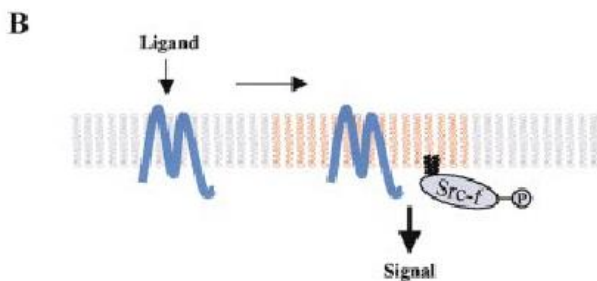
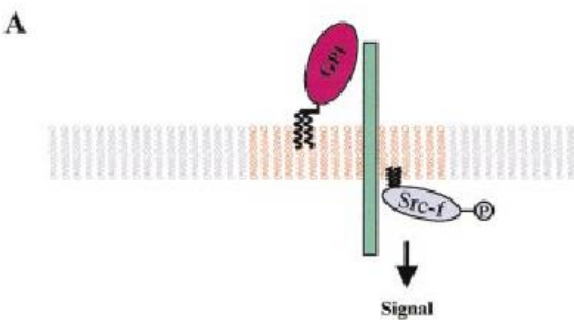
PLC γ

PI3K

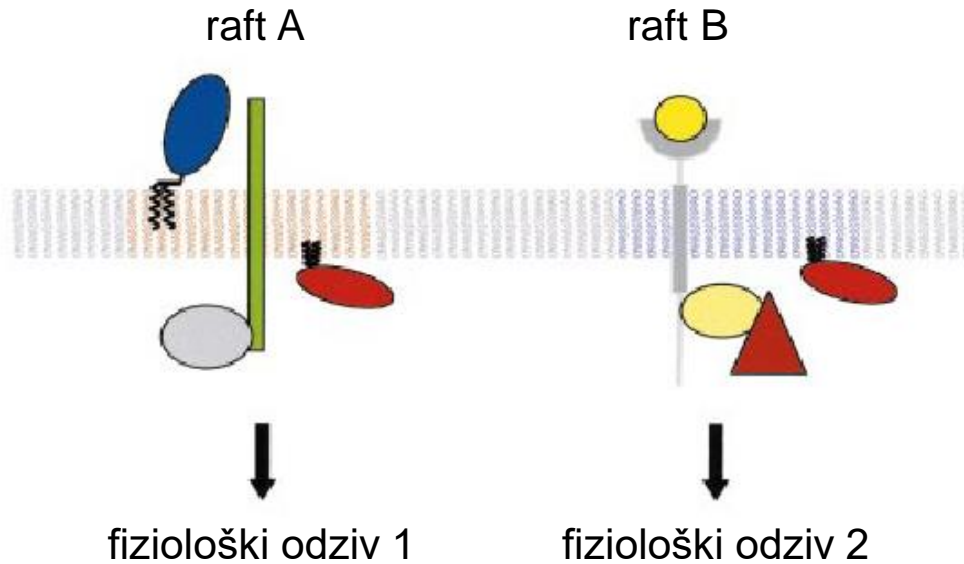
SHIP

Cbp/PAG

Predlagani načini za prenos signalov potom lipidnih raftov

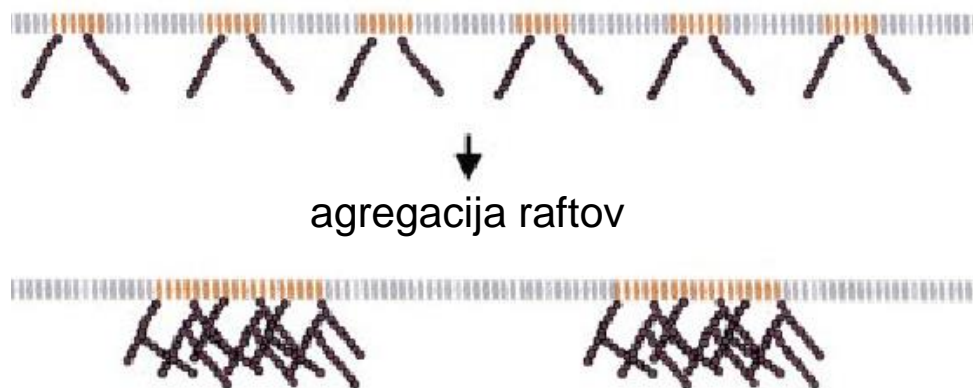


Signalna specifičnost različnih sub-populacij lipidnih raftov.

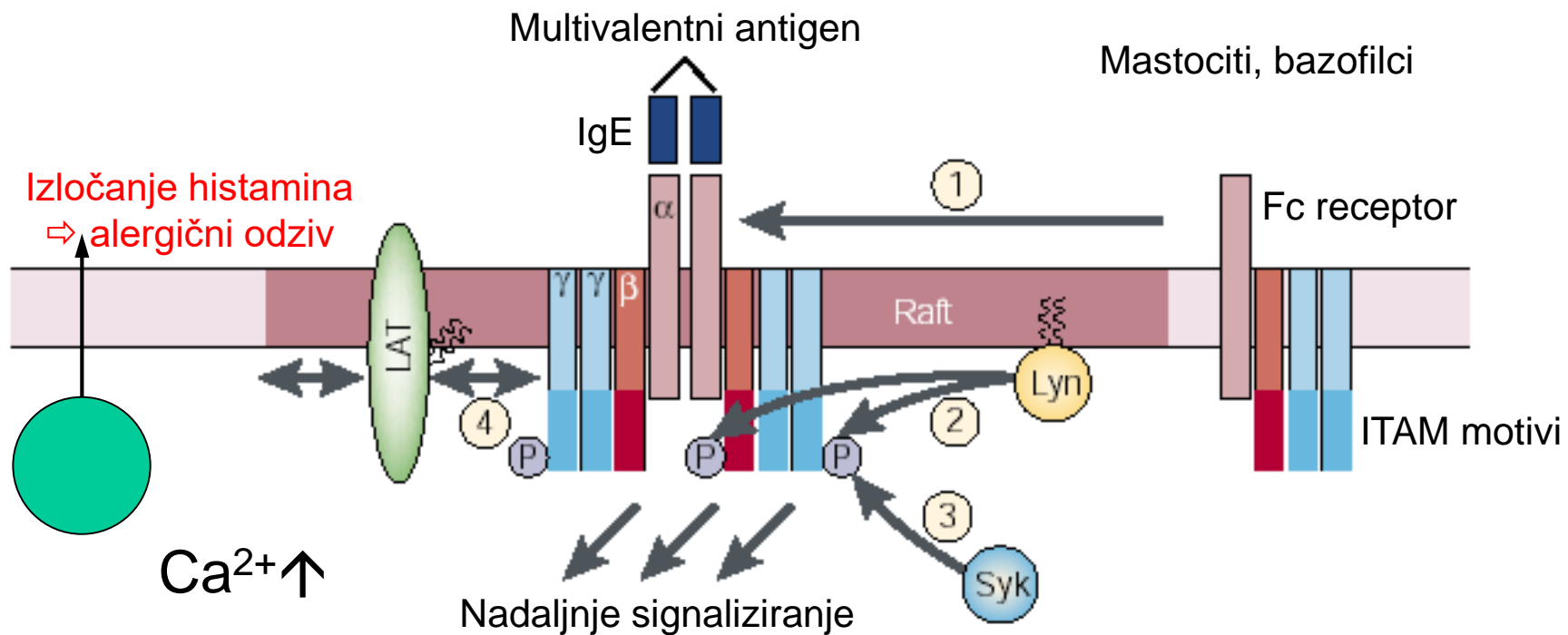


Tvorba signalnih kompleksov višjega reda z združevanjem lipidnih raftov:

- ojačitev signala
- povezovanje signalnih poti
- prostorska regulacija



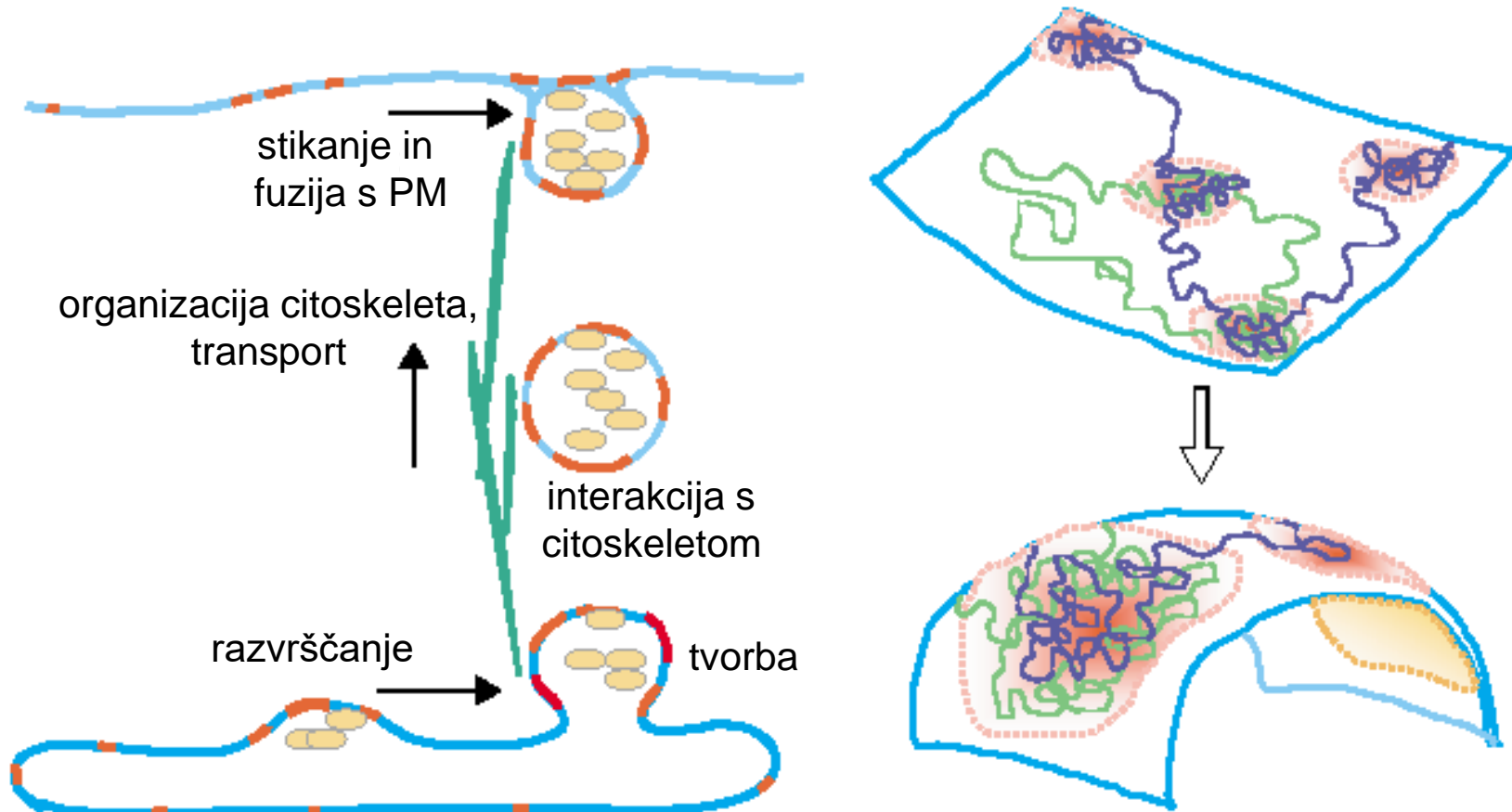
Alergični imunski odziv: signalizacija preko IgE receptorja (Fc ϵ RI)



Celični procesi, ki vključujejo lipidne rafte

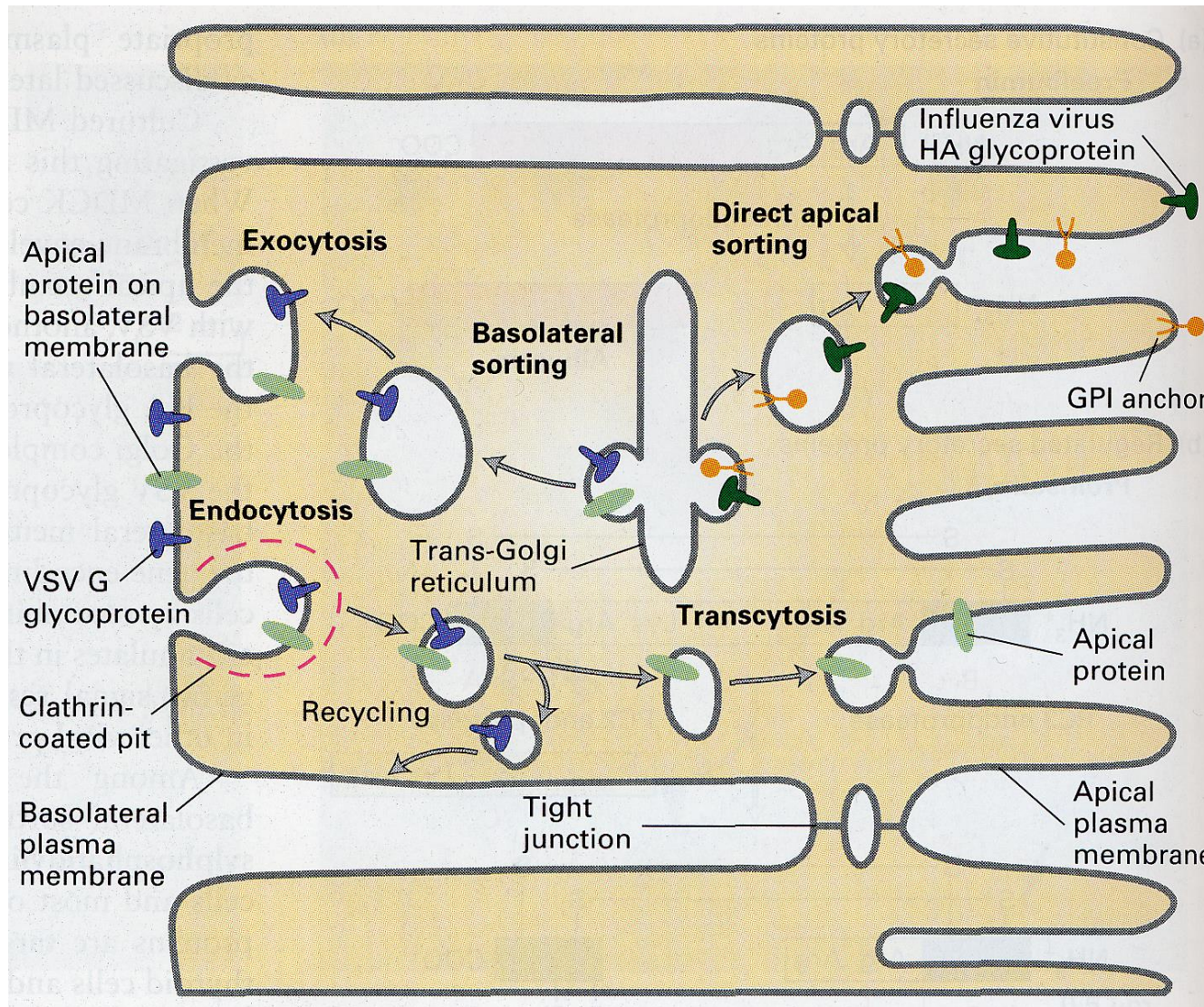
- Prenos signalov
- Transport in razvrščanje proteinov in lipidov
- Od klatrina neodvisna endocitoza:
 - keveolin-odvisna (potocitoza)
 - keveolin-neodvisna endocitoza
- Homeostaza Ca^{2+}

Funkcije lipidnih raftov v transportu mešičkov

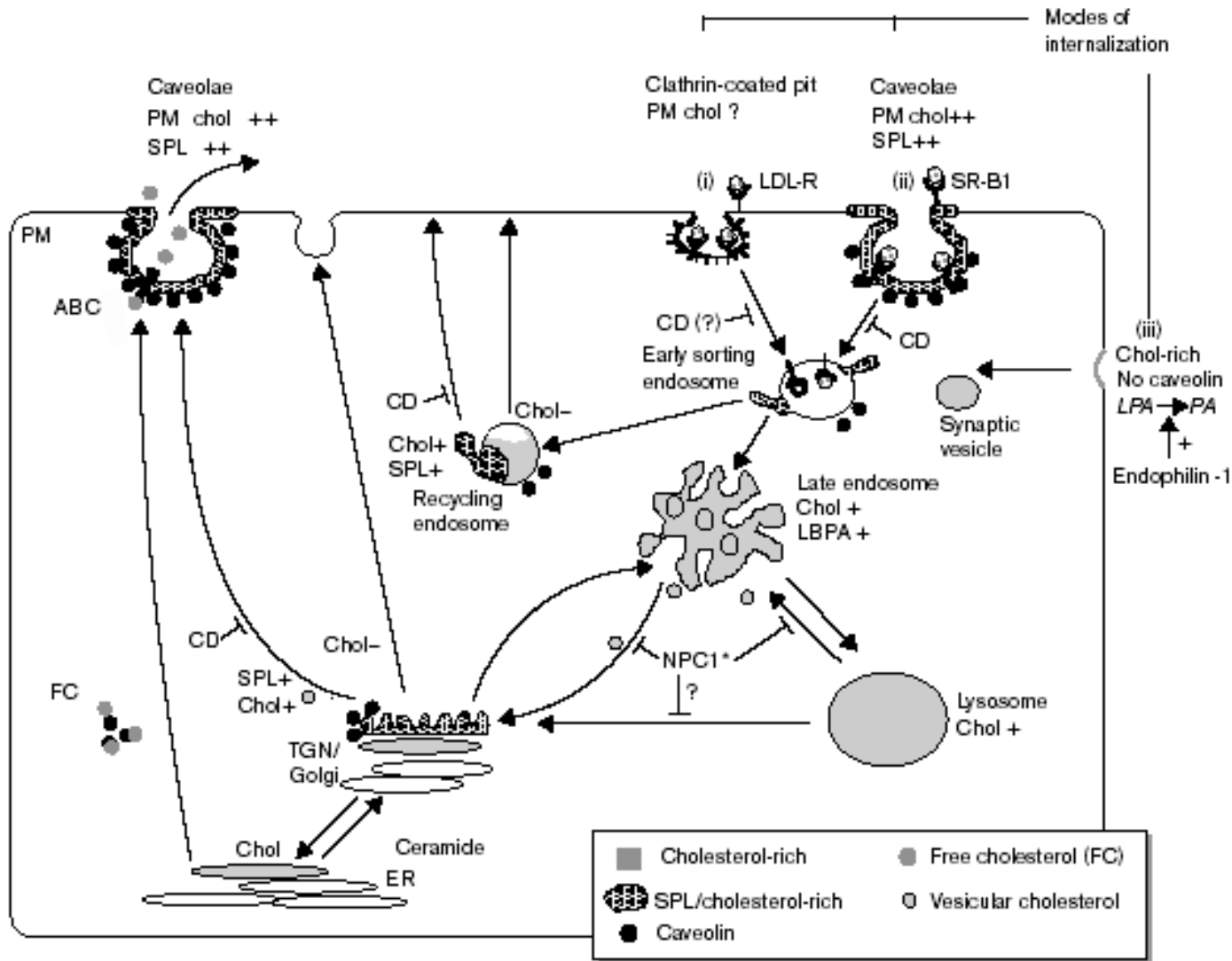


Razvrščanje proteinov v polariziranih celicah

(npr. v epitelijski celici)



Lipidni rafti sodelujejo pri transportu holesterola in sfingolipidov

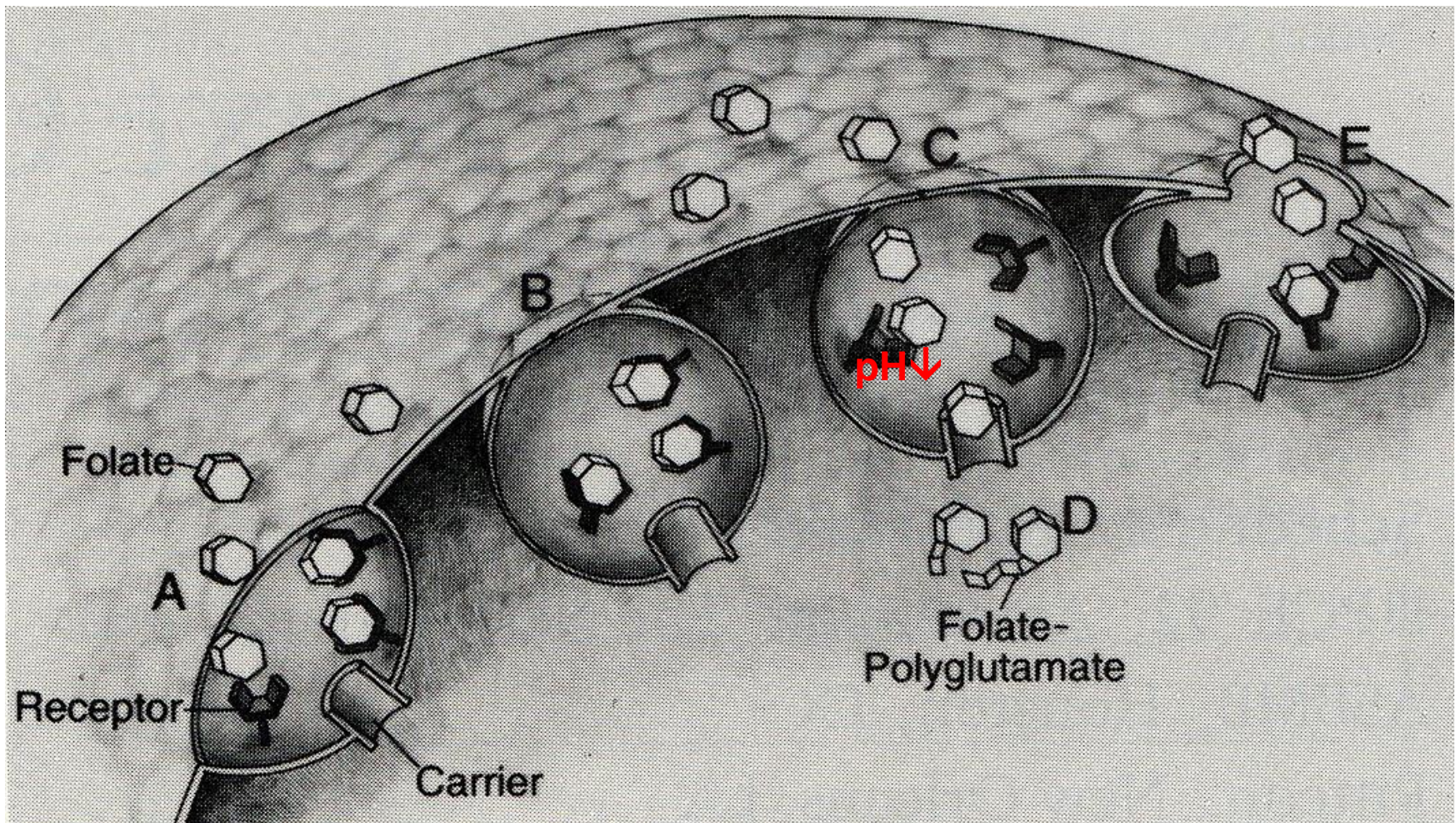


Celični procesi, ki vključujejo lipidne rafte

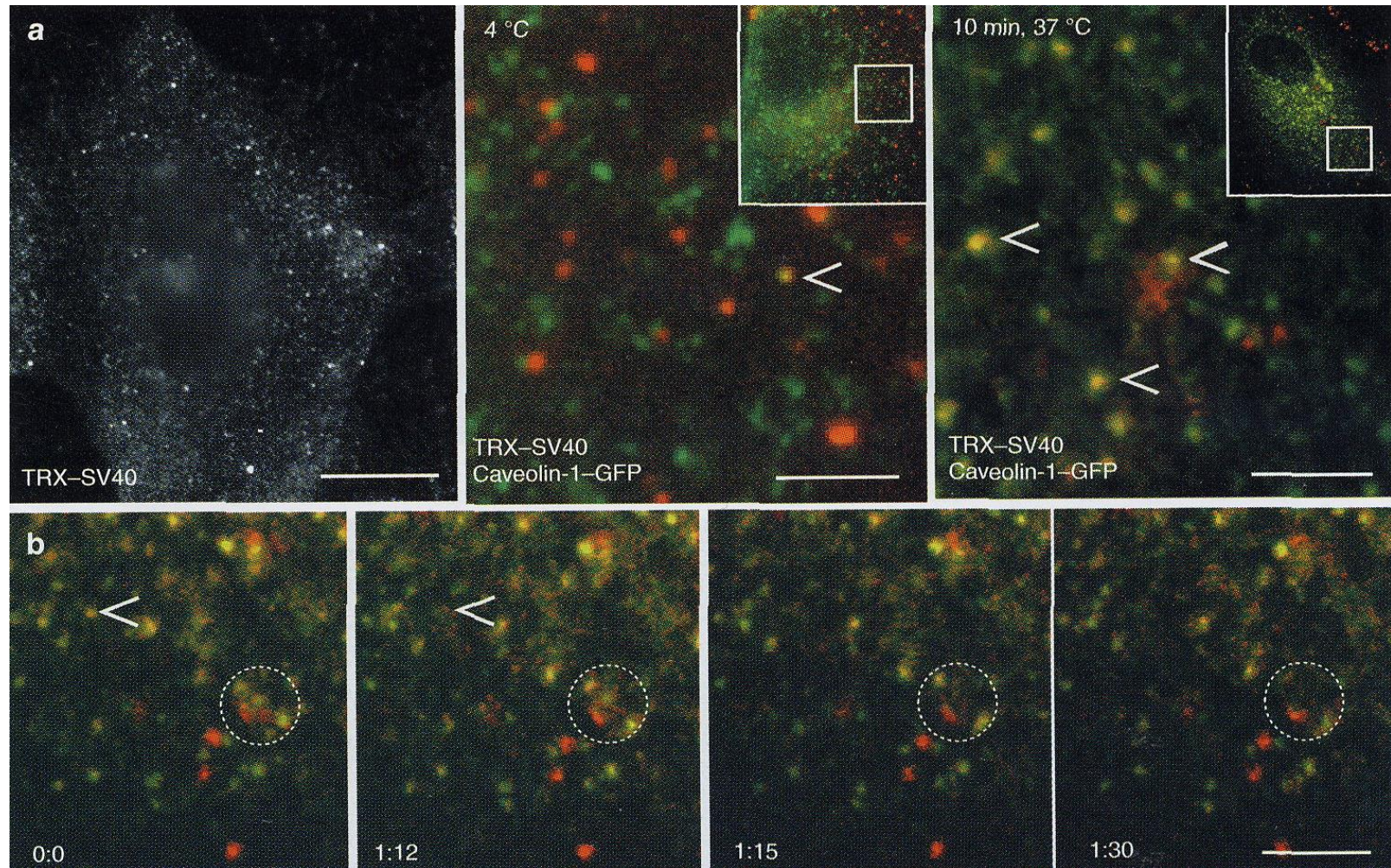
- Prenos signalov
- Transport in razvrščanje proteinov in lipidov
- Od klatrina neodvisna endocitoza:
 - keveolin-odvisna (potocitoza)
 - keveolin-neodvisna endocitoza
- Homeostaza Ca^{2+}

Potocitoza:

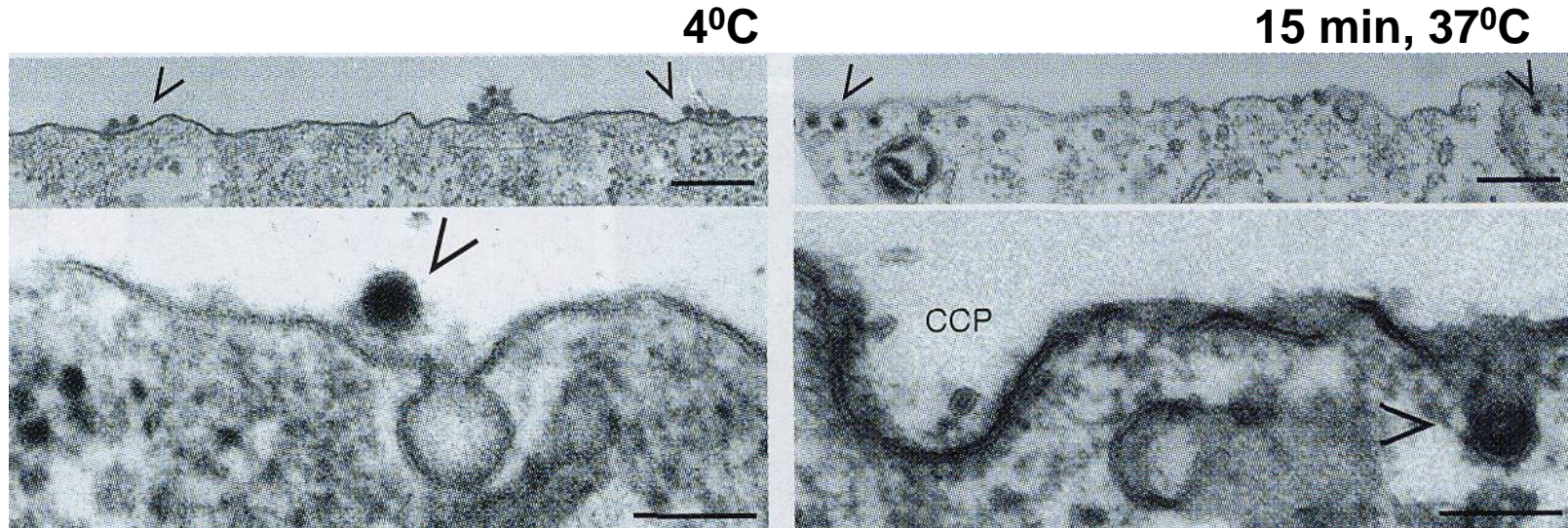
zajetje in vnos molekul/ionov v celico s kaveolo



Opičji virus 40 (SV40) vstopa v celico s potocitozo

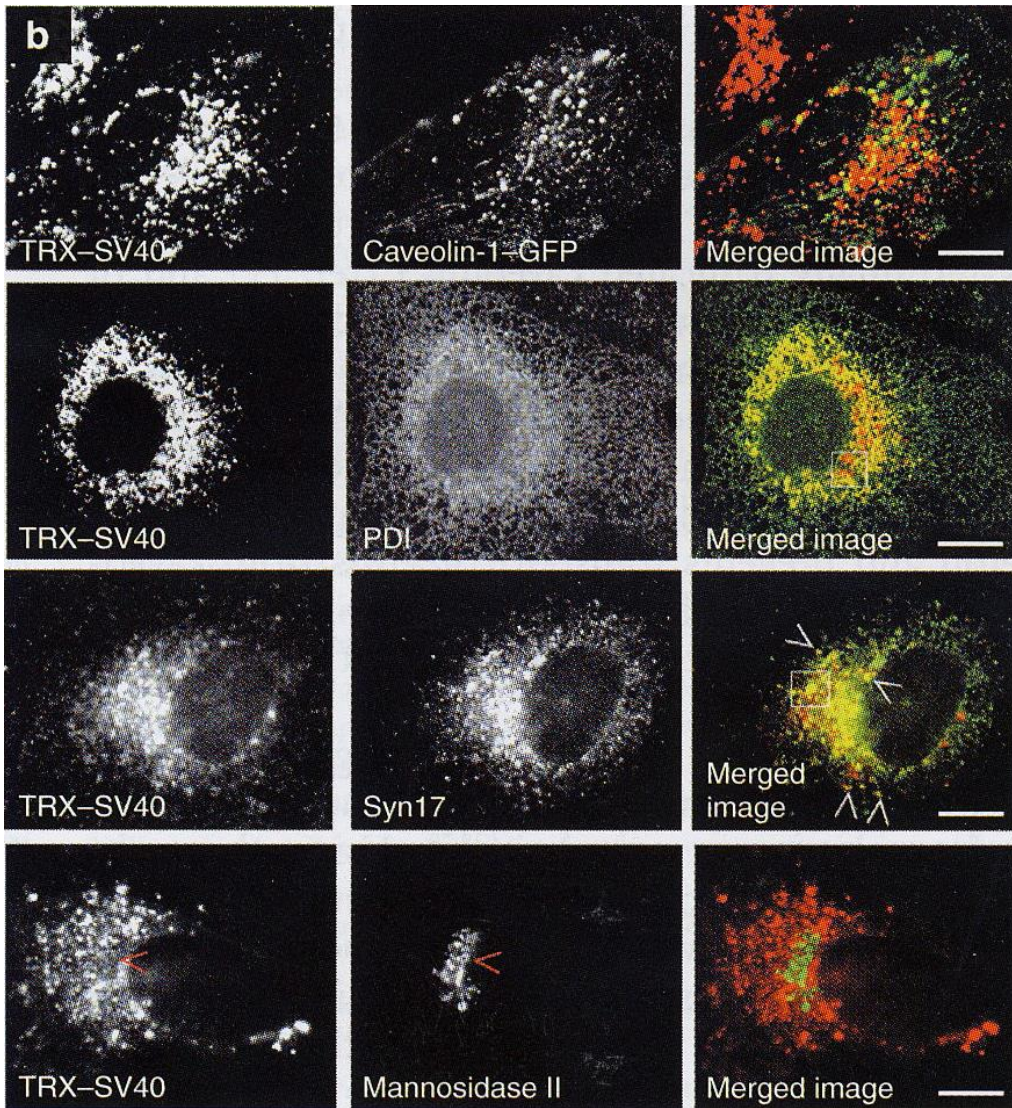


Kaveolarna endocitoza SV40



Lokalizacija virusa SV40 v celicah

(16h po izpostavitvi CV-1 celic virusu pri 37°C)



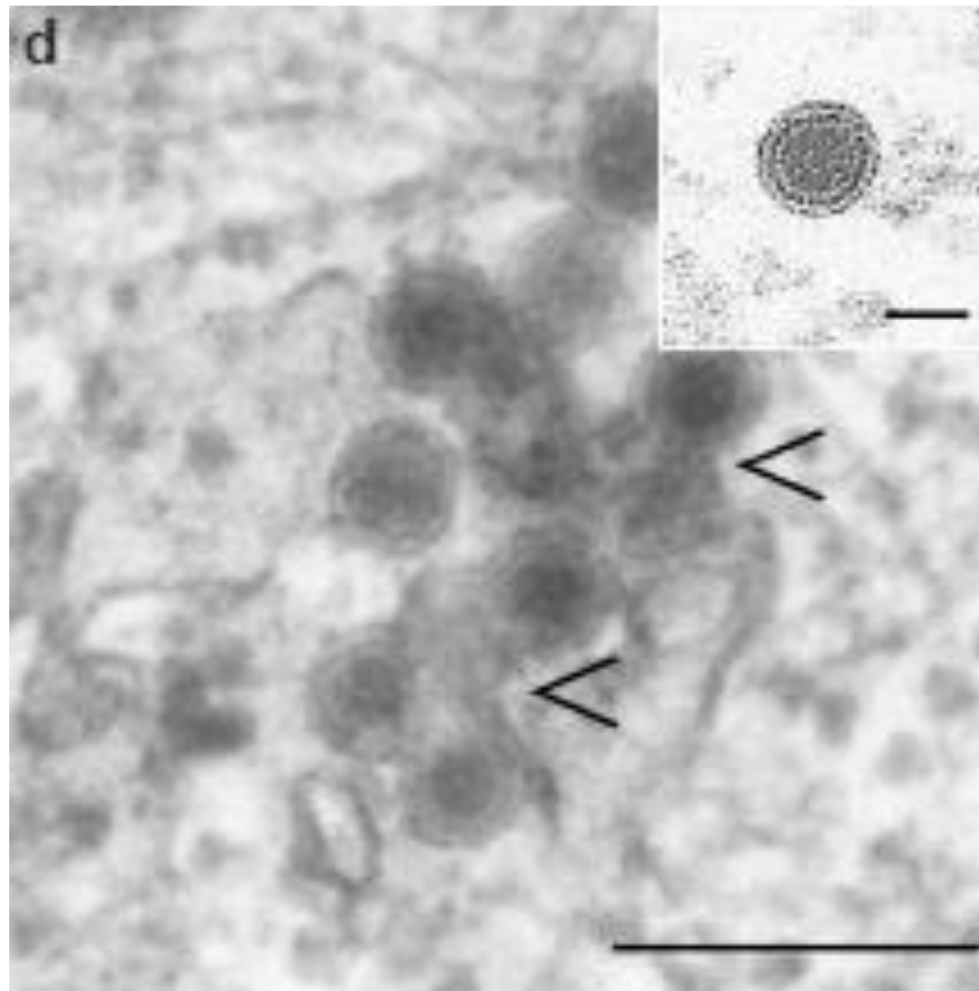
Cav-1⁺ organeli
9% prekrivanje

retikularni ER
70% prekrivanje

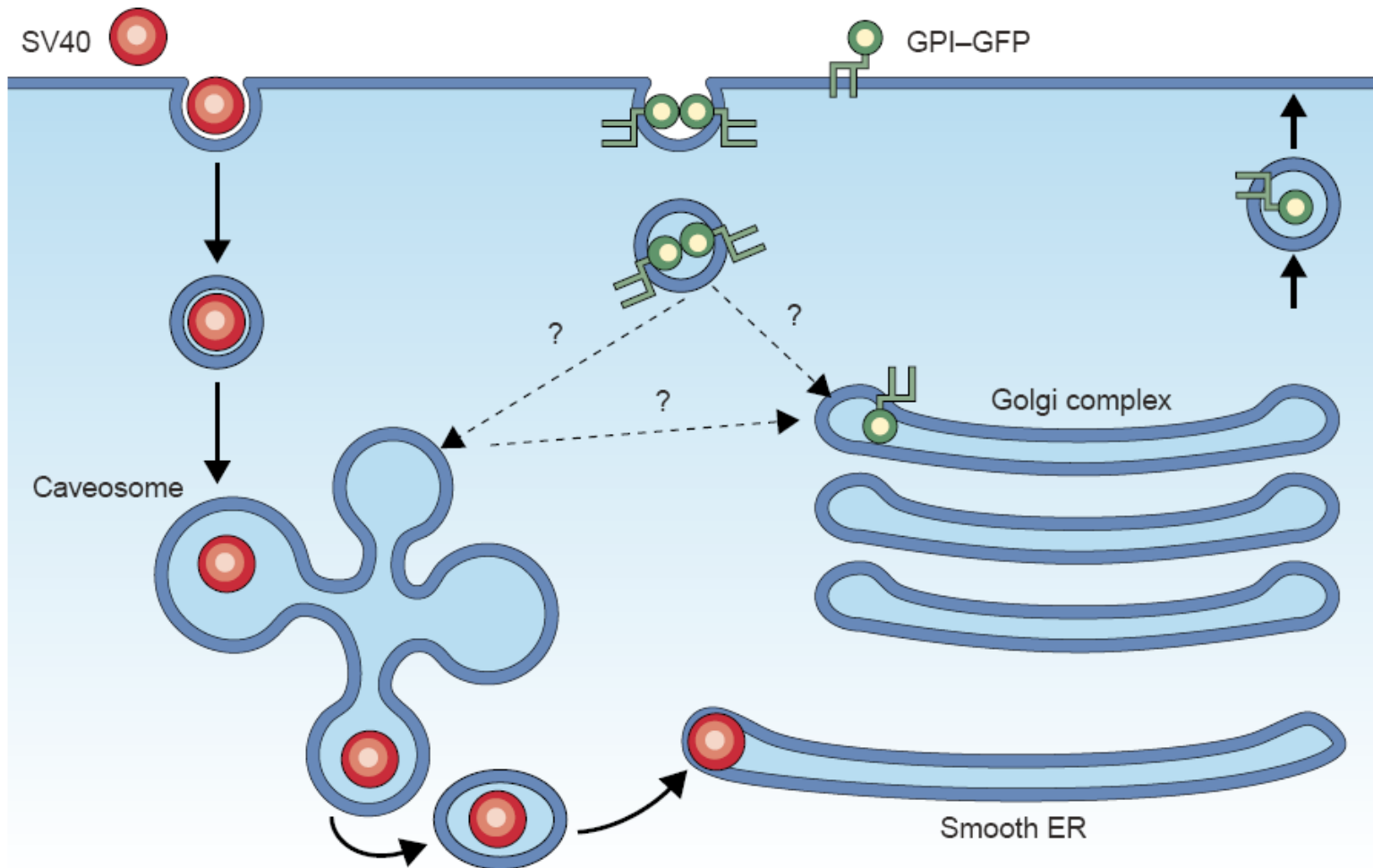
gladki ER
80% prekrivanje

Golgijev aparat
5% prekrivanje

Transport od kaveole na PM do ER poteka preko vmesnega organela – kaveosoma



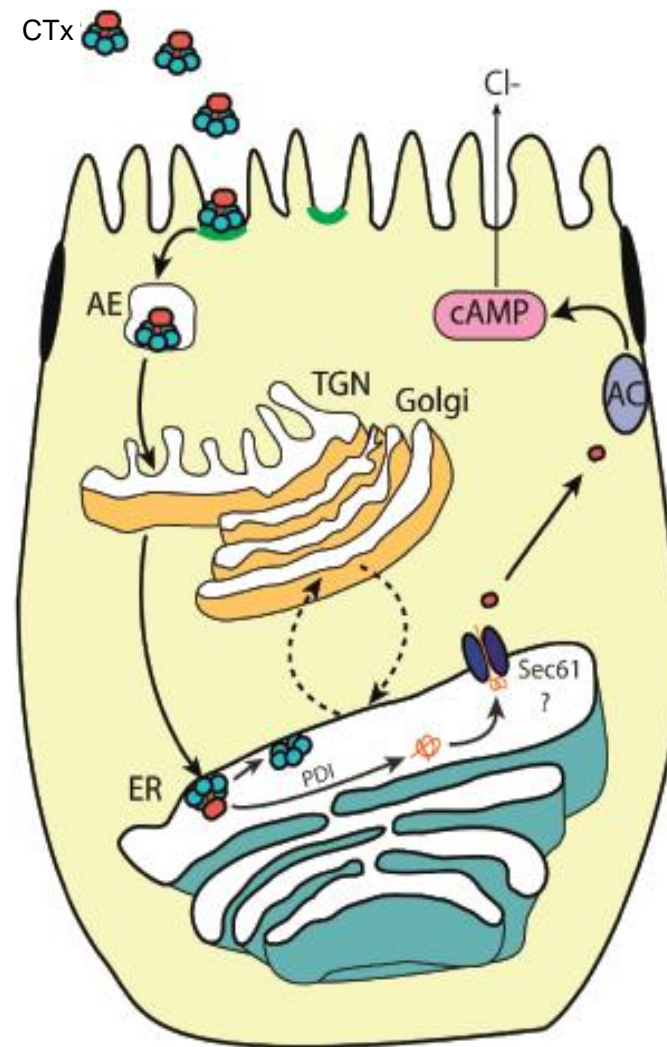
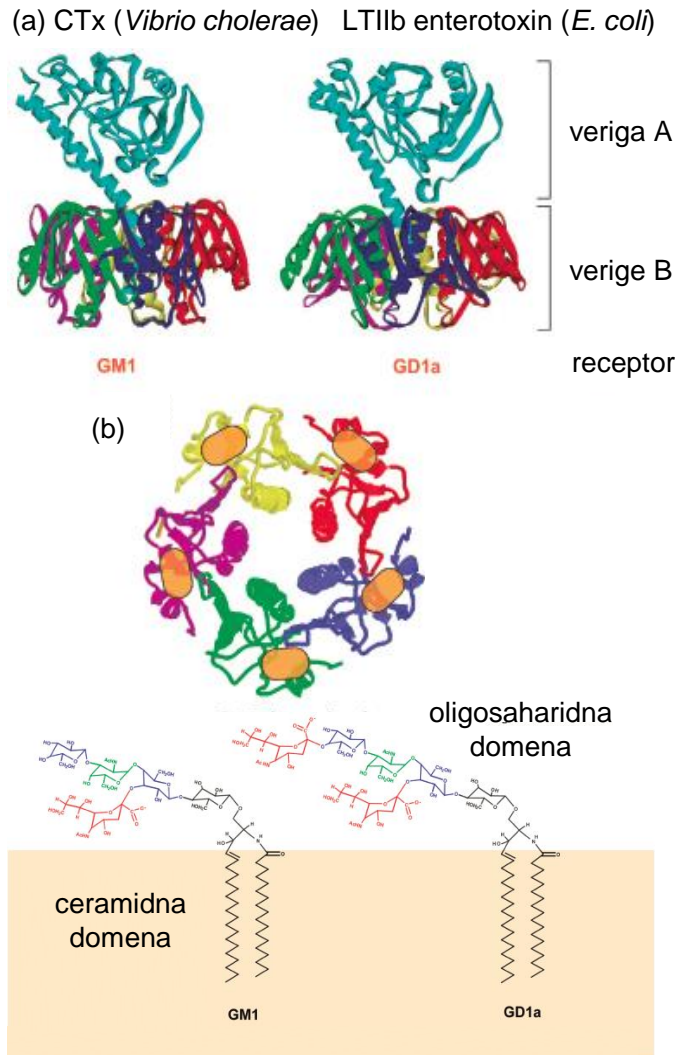
Transportne poti preko kaveol vodijo s PM do ER in Golgijskega aparata preko znotrajceličnih struktur brez endosomalnih markerjev



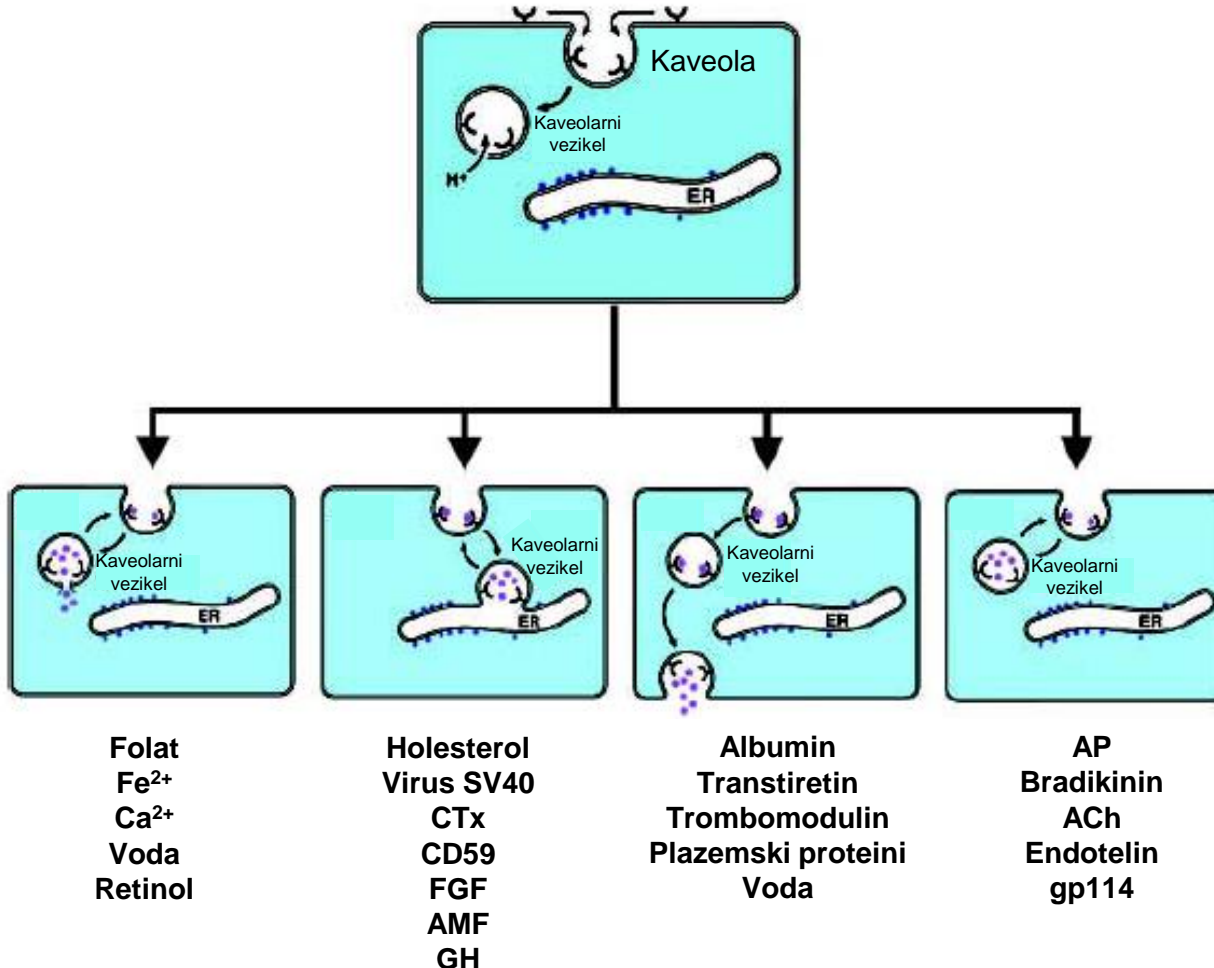
Kaveosom

- se ne nakisa (nevtren pH)
 - vsebuje kaveolin
- ne vsebuje markerjev za endosome, lizosome, ER ali Golgijev aparat
- ligandi klatrin-posredovane endocitoze ne zaidejo vanj

Retrogradni celični transport preko kaveol



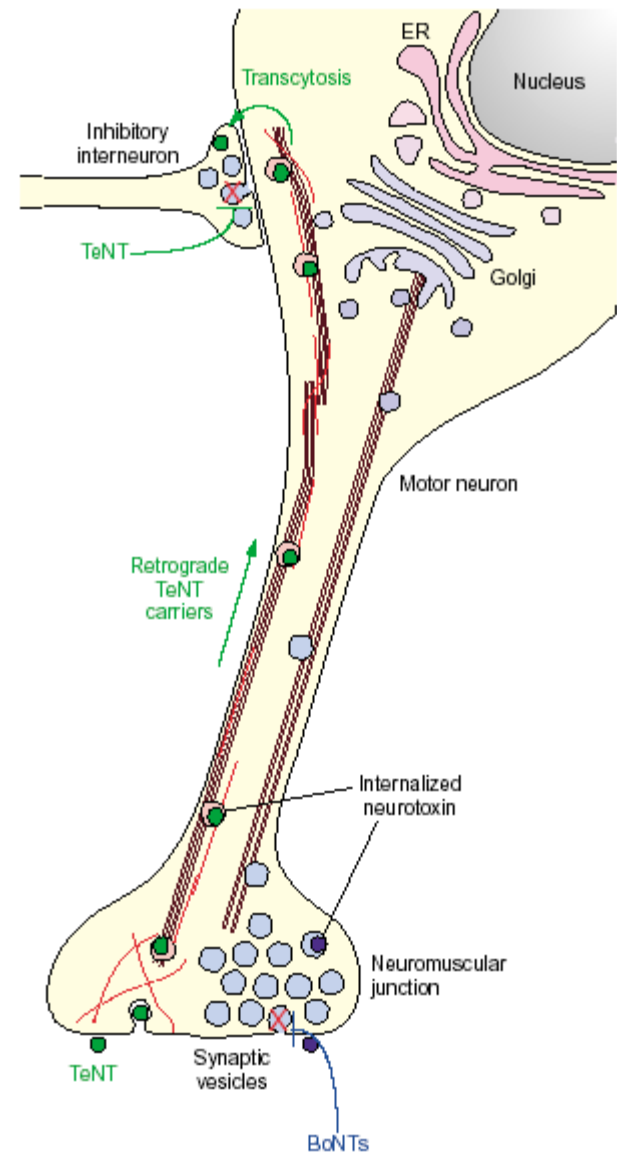
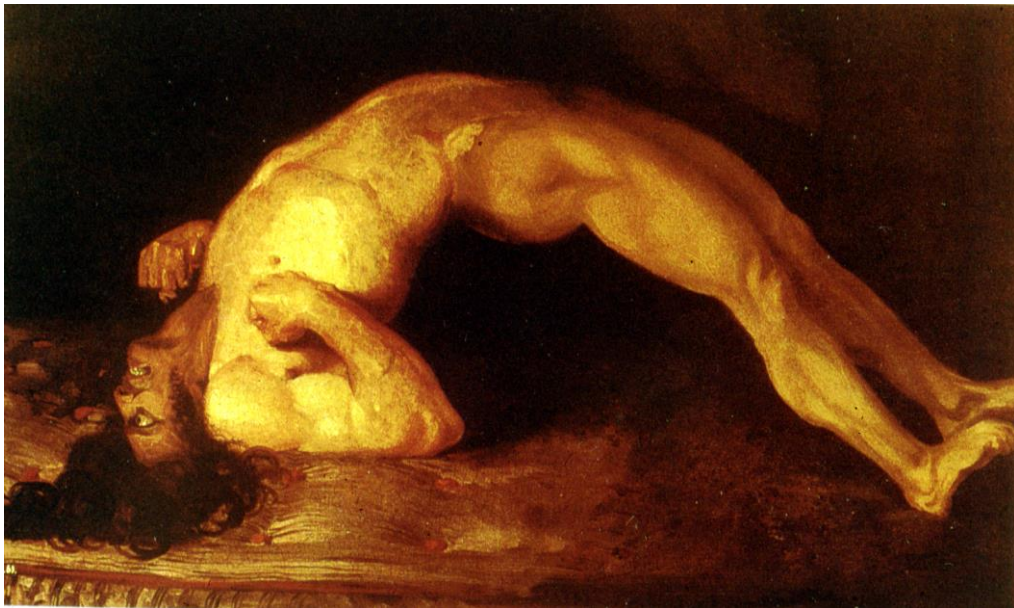
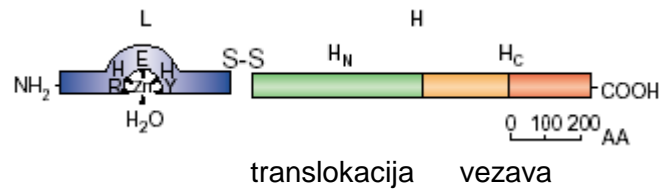
Štiri možne dostave molekul v celico s potocitozo



Celični procesi, ki vključujejo lipidne rafte

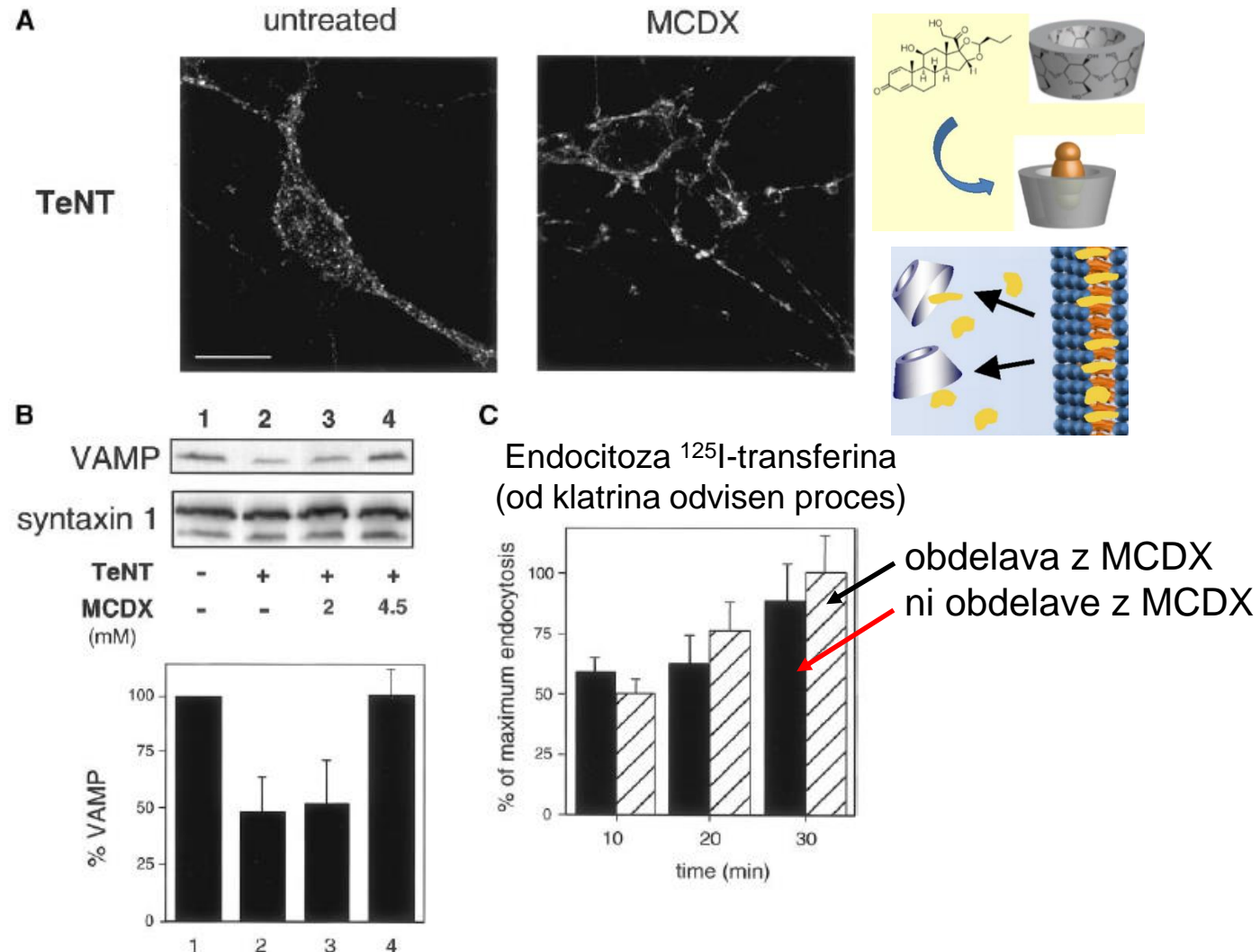
- Prenos signalov
- Transport in razvrščanje proteinov in lipidov
- Od klatrina neodvisna endocitoza:
 - keveolin-odvisna (potocitoza)
 - keveolin-neodvisna endocitoza
- Homeostaza Ca^{2+}

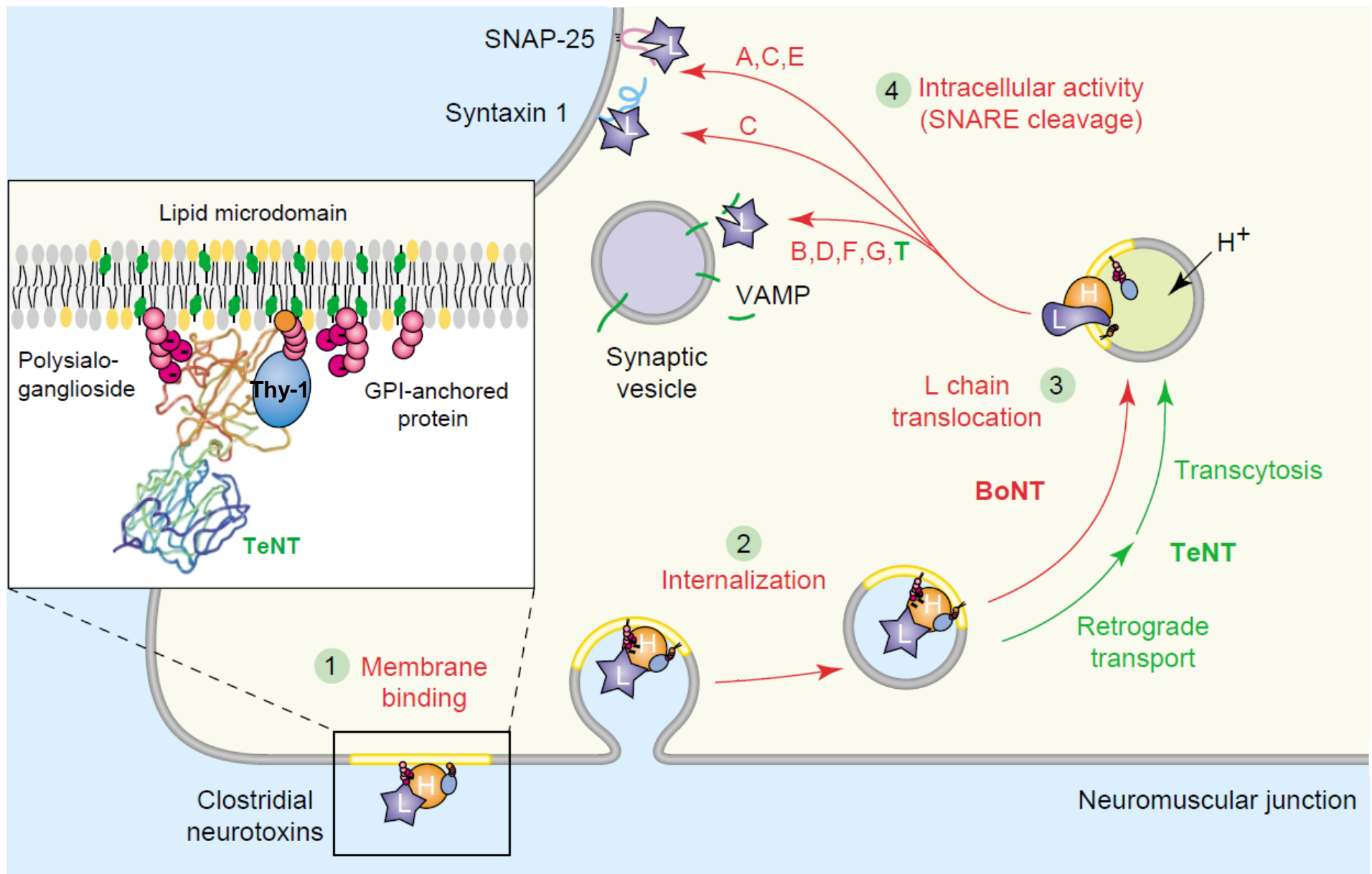
Od klatrina neodvisna receptor-posredovana endocitoza TeNT



Ekstrakcija holesterola povzroči razbitje raftov in s tem prepreči vnos in znotrajcelično aktivnost TeNT

Nevroni hrbtenjače
(v nevronih ni kaveol)



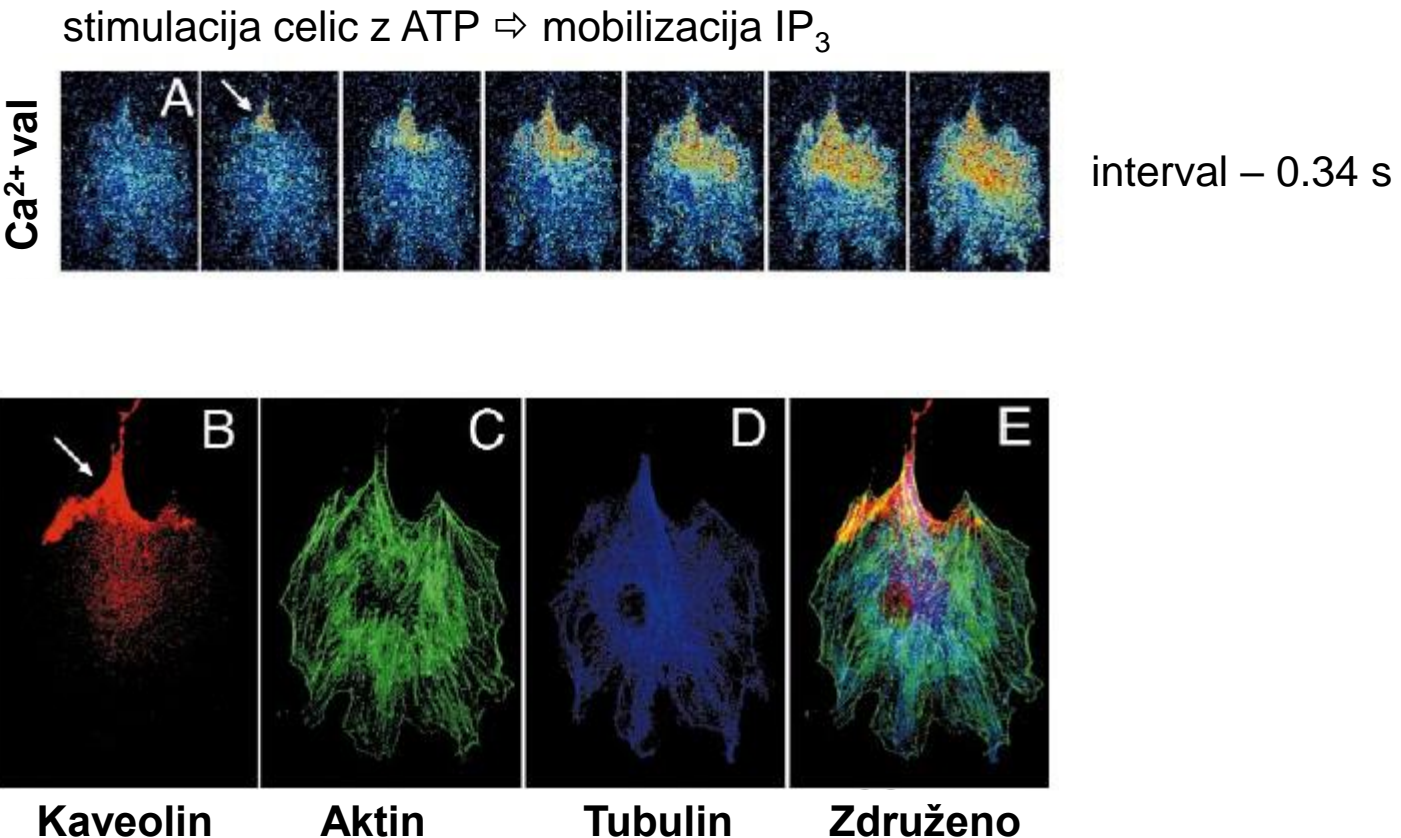


Celični procesi, ki vključujejo lipidne rafte

- Prenos signalov
- Transport in razvrščanje proteinov in lipidov
- Od klatrina neodvisna endocitoza:
 - kaveolin-odvisna (potocitoza)
 - kaveolin-neodvisna endocitoza
- Homeostaza Ca^{2+}

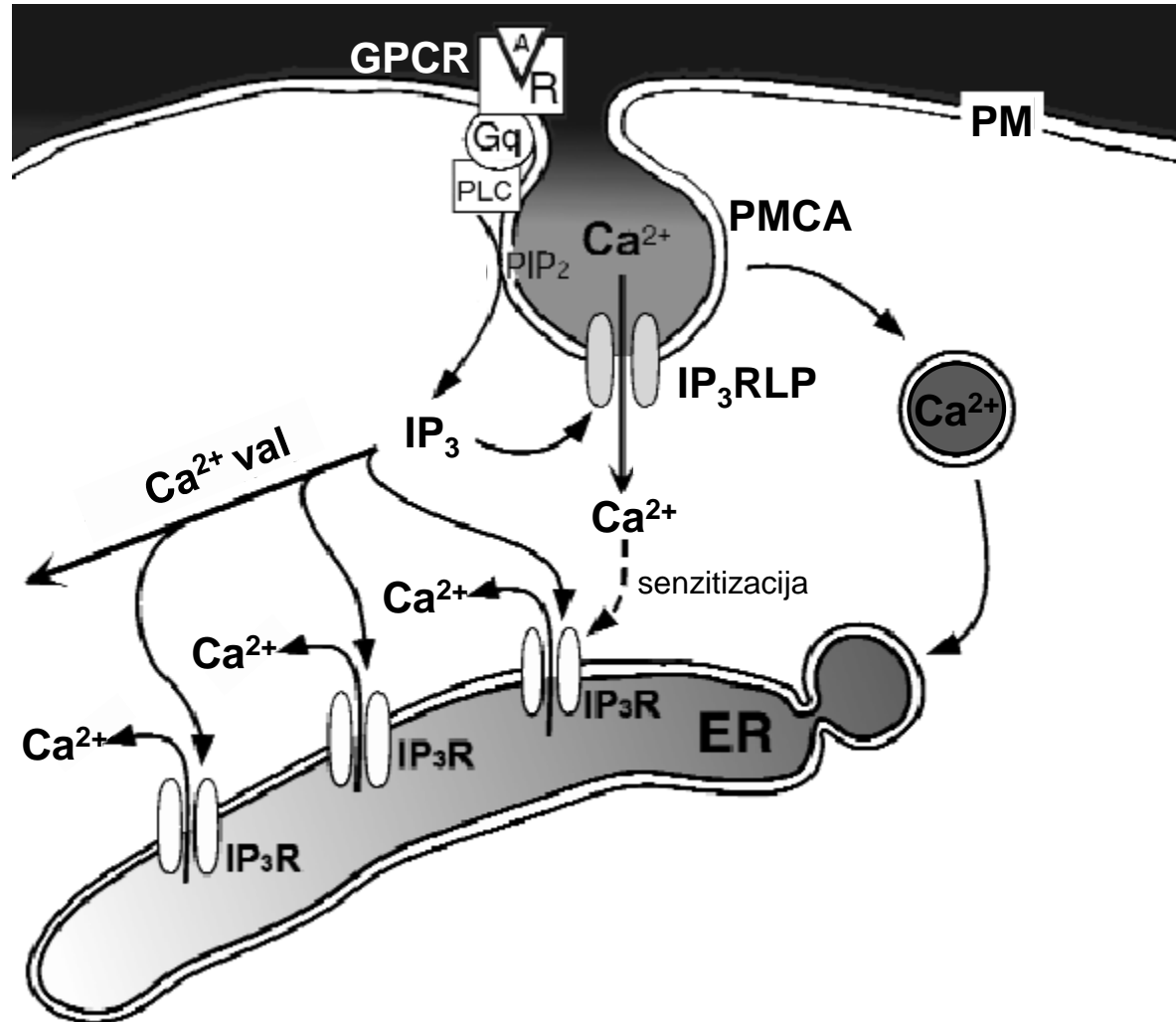
Val Ca^{2+} izvira z roba celice, ki je bogat s kaveolinom

endotelijske celice
goveje aorte
napolnjene z Indo-1



Kaveole so obogatene s proteini, ki so vključeni v regulacijo znotrajcelične Ca^{2+}

Trije načini, s katerimi lahko kaveola regulira nastanek in širjenje Ca^{2+} valov



Ključne naloge kaveol v zvezi s Ca^{2+}

- Prostorska organizacija vstopanja Ca^{2+} v celico
- Nadzor količine Ca^{2+} , ki vstopa v celico
- Generiranje Ca^{2+} valov (jakost in frekvenca)
- Regulacija od Ca^{2+} -odvisnih signalnih poti (npr. eNOS:CaM- Ca^{2+} /kaveolin)

Lipidni rafti in bolezni pri ljudeh

- Mišična distrofija (mutacija Cav-3)
- Alzheimerjeva bolezen (tvorba β -amiloida)
- Encefalopatije (pretvorba Pr^C \Rightarrow Pr^{Sc} v kaveolah)
- Rak (izguba Cav-1, s tem kaveol \Rightarrow degulacija rasti celic)
- Kardiovaskularne bolezni, npr. ateroskleroza (disfunkcija raftov)
- Patogeni (rafti – vstopna točka v celice)

Dodatno branje

- Filippini A. and D'Alessio A. (2020): Caveolae and lipid rafts in endothelium: valuable organelles for multiple functions. *Biomolecules* 10: e1218.
- Levental I. et al. (2020): Lipid rafts: controversies resolved, mysteries remain. *Trends Cell Biol.* 30: 341-353.
- Thematic Review Series - Biology of Lipid Rafts (8 článkov). *J. Lipid Res.* (2020) 61(5): 589-695.
- Suzuki K.G.N. and Kusumi A. (2023): Refinement of Singer-Nicolson fluid-mosaic model by microscopy imaging: Lipid rafts and actin-induced membrane compartmentalization. *Biochim. Biophys. Acta Biomembranes* 1865(2): 184093.